



## 《多模态大模型原理与应用》

# Lecture 10

# 具身智能基础理论与应用

刘阳

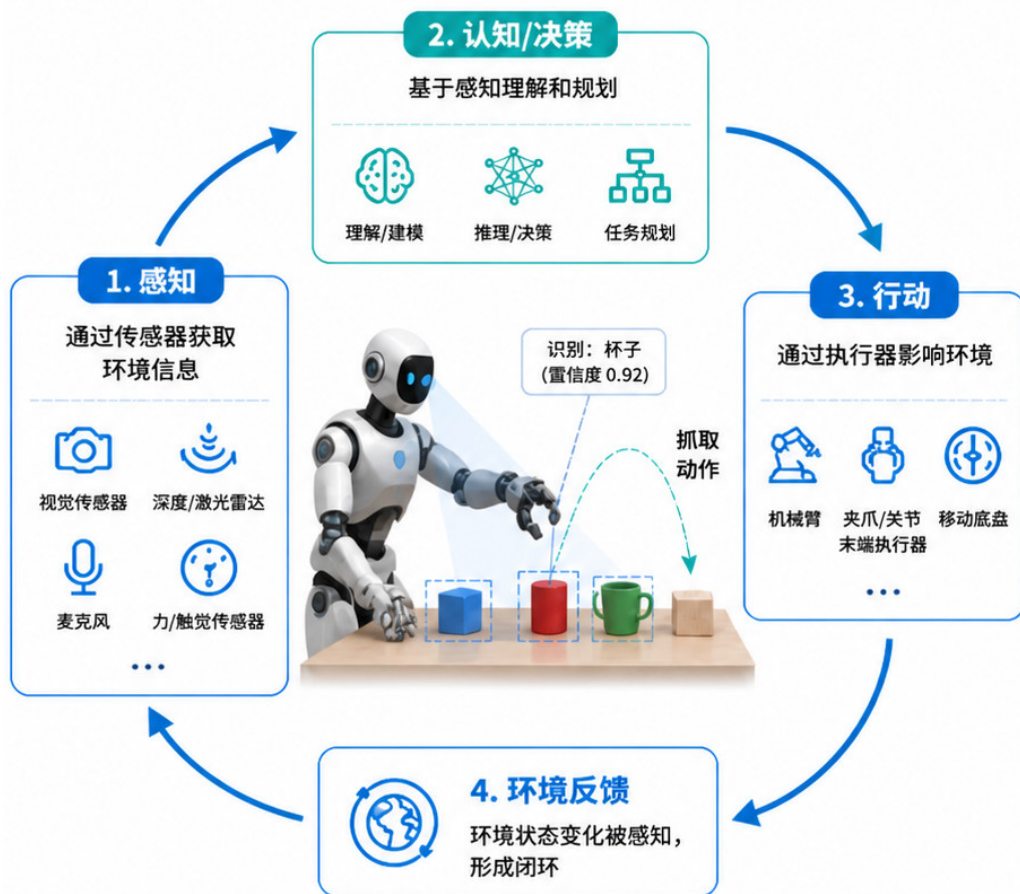
中山大学

人机物智能融合实验室 (HCP Lab)

liuy856@mail.sysu.edu.cn



# 什么是具身智能



## 核心理念

智能源于身体与环境的交互

## 三大要素

**感知**：通过传感器获取环境信息

**认知/决策**：基于感知进行理解和规划

**行动**：通过执行器影响环境

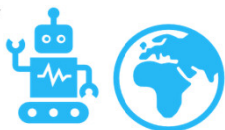
## 关键区分

ChatGPT缺乏物理身体和环境交互闭环，属于**离身智能** (Disembodied AI)

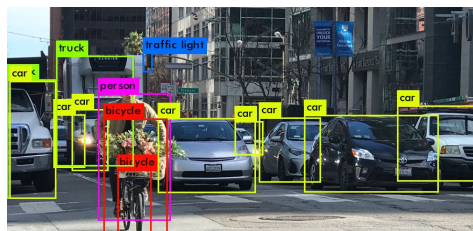
# 具身智能VS离身智能

**离身智能**: 模型**被动感知**  
**数字空间**, 无法直接改变  
环境并作用于物理世界。

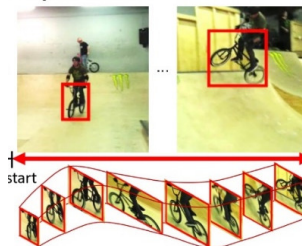
促进



**具身智能**: 智能体**主动理解**  
**物理世界**, 通过适应性行为  
和自主学习来完成任任务。



预测

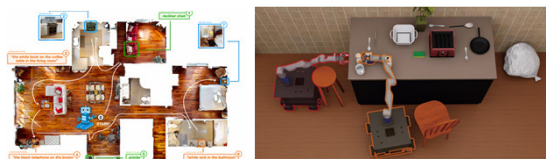


跟踪



检测

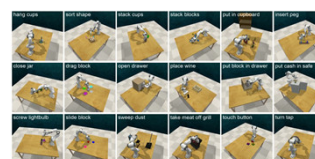
分类



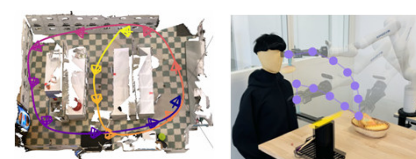
视觉导航



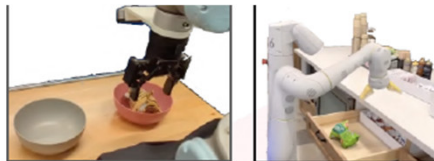
移动操纵



具身问答



抓取



具身整理



## | 具身智能 vs 传统AI：范式对比

对比维度	传统AI (非具身)	具身智能
信息来源	静态数据集	实时传感器流
交互模式	开环 (感知→推理→输出)	闭环 (感知→行动→反馈)
时间维度	离线/批处理	在线/实时流
物理约束	不考虑	核心约束 (力/摩擦/碰撞)
学习机制	监督/无监督学习	交互式学习 (RL/IL)
泛化来源	数据分布覆盖	物理规律与因果推断

具身智能的闭环范式意味着智能体必须持续与环境交互，从试错中学习

# 具身智能的研究范畴与技术体系



大脑

多模态传感器信息融合为紧凑、语义丰富的世界表征



小脑

高维连续动作空间的多模态分布建模与生成



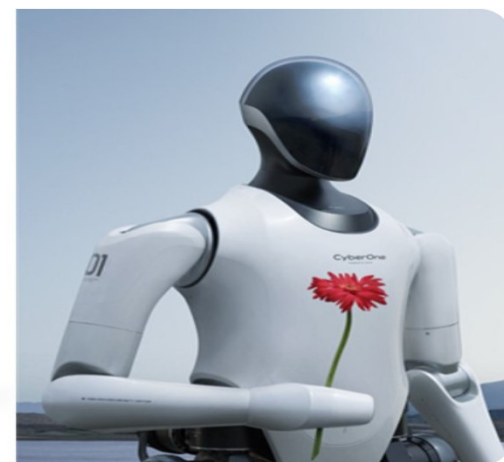
本体

仿真到现实的迁移学习与域适应方法



环境

大模型与机器人系统的深度融合架构



# | 发展历程（上）：从哲学到机器人学

## 1991年《具身心智》

Varela、Thompson、Rosch合著，标志具身认知理论正式诞生

## MIT Rodney Brooks

提出"基于行为的机器人学"

论文《Elephants Don't Play Chess》批评符号AI局限

## 核心理念

智能无需复杂内部表征

可通过身体与环境的直接交互涌现

"情境化行动"与"涌现智能"



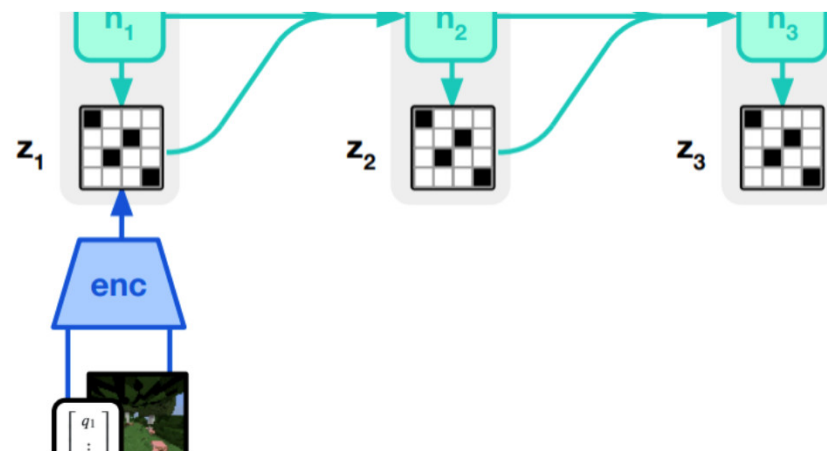
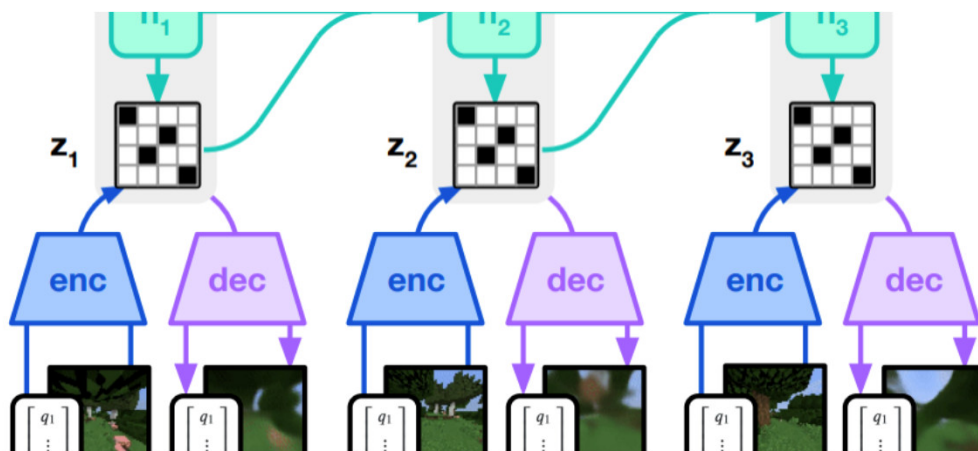
## 发展历程（中）：深度学习时代

### 2016-2019 Sim2Real方法论奠定

1986年Brooks提出包容式架构，1990年代早期仿生机器人出现，受昆虫行为启发。

### 2018-2023 世界模型快速发展

2000年代ASIMO、BigDog等里程碑系统出现，强化学习开始应用于机器人控制。



## 发展历程（下）：大模型时代（2023-2026）

2023 基础模型元年 → 2024 VLA爆发年 → 2025-2026 产业落地加速

### 2023 基础模型元年

- RT-1: Transformer扩展到机器人控制
- PaLM-E: 多模态推理与机器人控制统一

### 2024 VLA爆发年

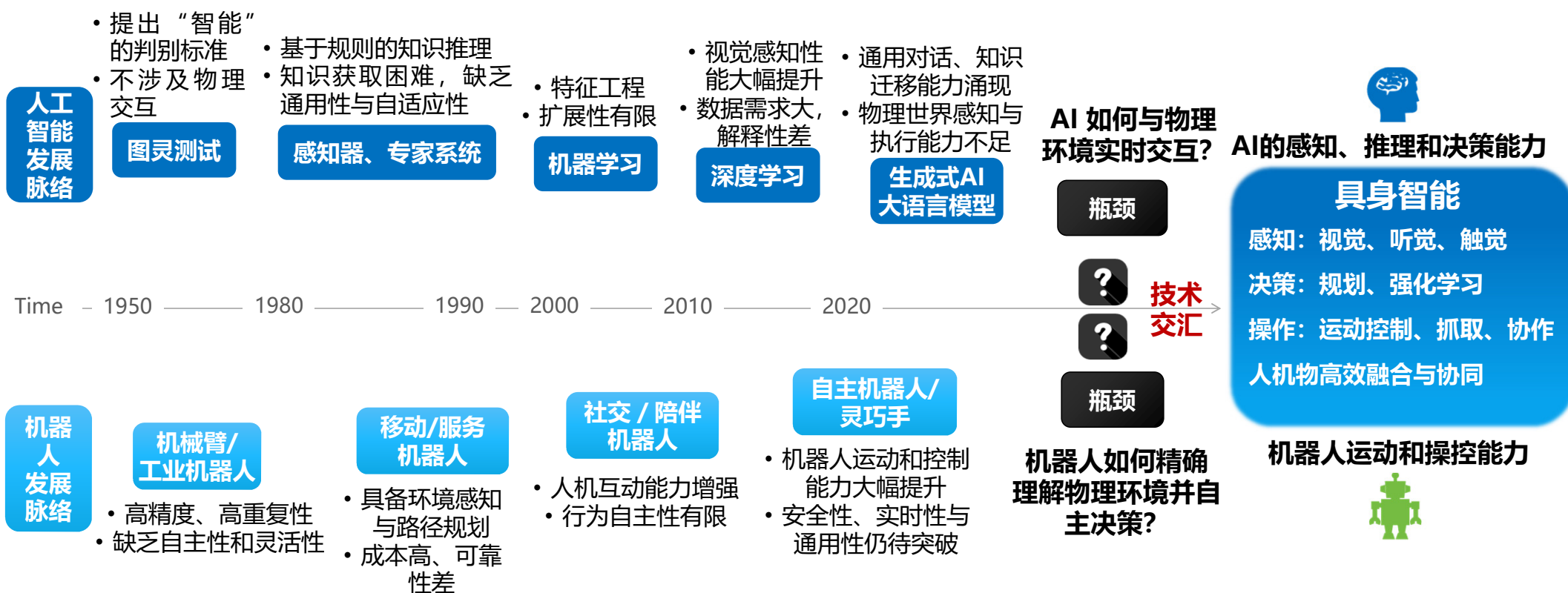
2022+: GPT时代，大模型与机器人结合，VLA模型成为新范式。

### 2025-2026 产业落地

- Tesla Optimus 工厂部署
- Figure 02 宝马产线商用
- VLA+世界模型融合新前沿



# 具身智能：AI与机器人技术发展的交汇点



**具身智能：AI感知、推理、决策与机器人物理操控执行能力的深度融合。**

# 具身智能的六大核心科学问题

## 01 感知融合与表征学习

多模态传感器信息融合为紧凑、语义丰富的表征

## 02 动作表征与生成

高维连续动作空间的多模态分布建模

## 03 仿真到现实迁移

同一策略适用于不同形态的机器人

## 04 样本高效学习

高效获取与利用机器人交互数据

## 05 安全与对齐

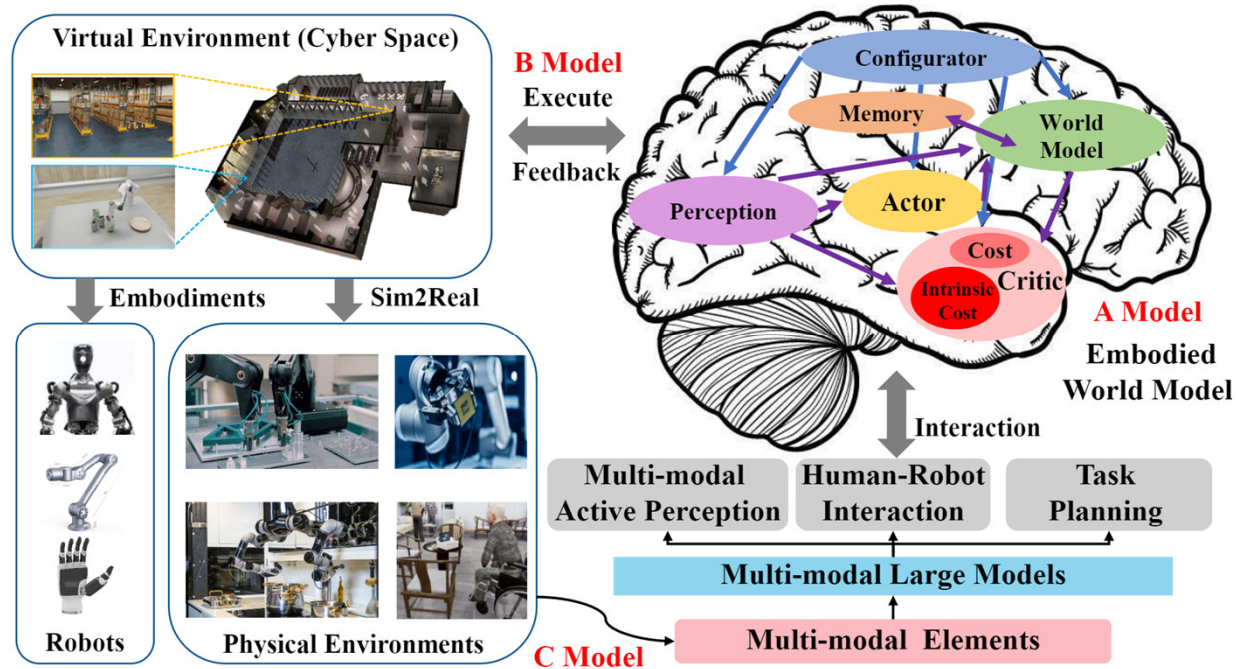
弥合仿真与现实的"现实鸿沟"

## 06 可解释性与泛化

力控安全、对抗鲁棒性与可解释性



# 具身智能的体系架构



具身世界模型架构：认知规划与物理模拟的高效协同

Sun Yat-sen University, Pengcheng Laboratory, China

Yang Liu, Weixing Chen, Yongjie Bai, Xiaodan Liang, Guanbin Li, Wen Gao, and Liang Lin. "Aligning cyber space with physical world: A comprehensive survey on embodied ai." IEEE/ASME Transactions on Mechatronics, 2025.

[https://github.com/HCPLab-SYSU/Embodied\\_AI\\_Paper\\_List](https://github.com/HCPLab-SYSU/Embodied_AI_Paper_List)

## 本节内容

### CONTENTS

- 一、具身认知的哲学与科学基础
- 二、机器人学基础
- 三、仿真环境与物理引擎
- 四、强化学习基础
- 五、模仿学习与Diffusion Policy
- 六、视觉-语言-动作 (VLA) 模型
- 七、世界模型与Sim2Real

## | 认知革命的两次范式转移

### 第一次：认知革命 (1956-1970s)

具身认知革命：智能不仅是大脑计算，更依赖身体与环境的动态交互。

### 第二次：具身转向 (1980s-1990s)

- 《The Embodied Mind》(1991)集大成
- 认知是**身体行动与环境耦合**的动态过程
- 没有身体的感知运动经验，抽象概念失去根基

具身认知为AI研究提供了全新视角：智能源于交互。

## I 《具身心智》：4E认知框架

### E 具身的 Embodied

认知依赖身体的特定形态和感知运动能力

### E 嵌入的 Embedded

认知活动发生在特定环境背景中

### E 延展的 Extended

认知可延伸到外部工具和环境结构

### E 生成的 Enactive

认知是行动生成意义的过程

## 实验证据

- Botvinick和Cohen (1998) 的"**橡胶手错觉**"证明身体边界是可塑的认知建构
- Clark和Chalmers (1998) 的"延展心智"论文以阿尔茨海默病患者使用笔记本记事为例
- 改变身体（如使用工具扩展可达范围）会改变认知本身

# 生成论：认知即行动

"认知不是表征预先给定的世界，而是生成一个世界"

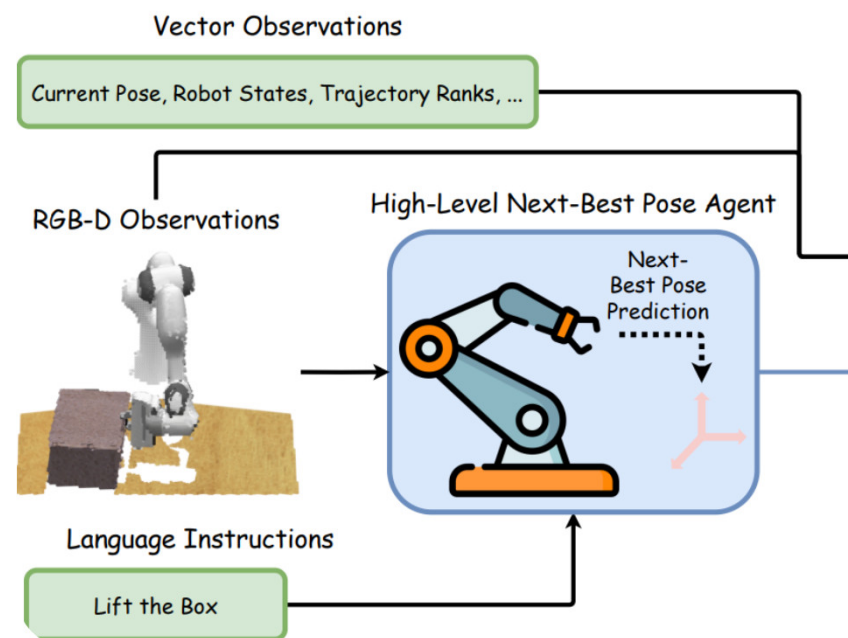
— Varela

## 生成论核心命题

- 感知和行动是不可分割的同一过程的两面
- 知觉不是被动接收，而是主动的"知觉-行动耦合"

## 技术关联

- 端到端VLA模型直接从视觉+语言映射到动作
- 避免了显式中间表征的信息损失和延迟
- Diffusion Policy和 $\pi_0$ 是"生成论"的技术实现



# Clark的"延展心智"与预测加工

## "对等原则" (Parity Principle)

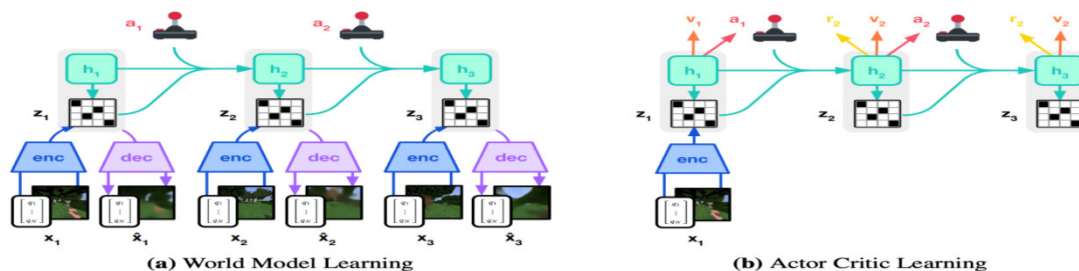
如果外部过程在功能上等同于内部认知过程，那么它就应当被视为认知的一部分。

挑战了"认知必须发生在大颅骨内部"的直觉。

## 预测加工框架 (Predictive Processing)

- 大脑本质是**层级化的预测机器**
- 不断生成关于感官输入的预测
- 通过最小化预测误差更新内部模型

智能手机、笔记、计算工具都是认知过程的延伸。



## | Brooks: 情境机器人学与包容式架构

### Brooks的包容式架构

- 分层控制：反射层→行为层→规划层
- 无需世界模型，直接感知-行动映射
- 实时响应环境变化
- 奠定了行为机器人学基础



**反思与当代关联：**包容式架构在简单任务上非常有效，但难以处理长期规划。2024年的VLA模型可以视为这种结合的当代形态——**端到端反应式动作生成 + 大模型驱动的语义理解。**

# | 从哲学到工程：具身认知如何影响AI设计

1 哲学思想指导工程实践：交互式智能、环境耦合、多模态感知。

2 从"通用推理"到"情境化智能"  
跨本体大规模训练+互联网规模预训练

3 从"符号表征"到"感觉运动表征"  
动作token化和连续动作生成两种技术路径

4 从"感知-认知-行动分离"到"耦合"  
端到端VLA模型直接从视觉+语言生成动作

**Vision Language  
Action Models**



# | 具身智能的动物模型

## 昆虫级智能

从昆虫到哺乳动物，生物运动控制为机器人提供灵感。

## 哺乳动物级智能

- 海马体位置细胞
- 网格细胞
- 环境的内部"认知地图"
- 对应机器人SLAM

## 人类级智能

- 工具使用体现身体延展
- 琴键是手指的延伸
- 车辆边界是身体的边界
- 提示：工具融合设计



## 本节内容

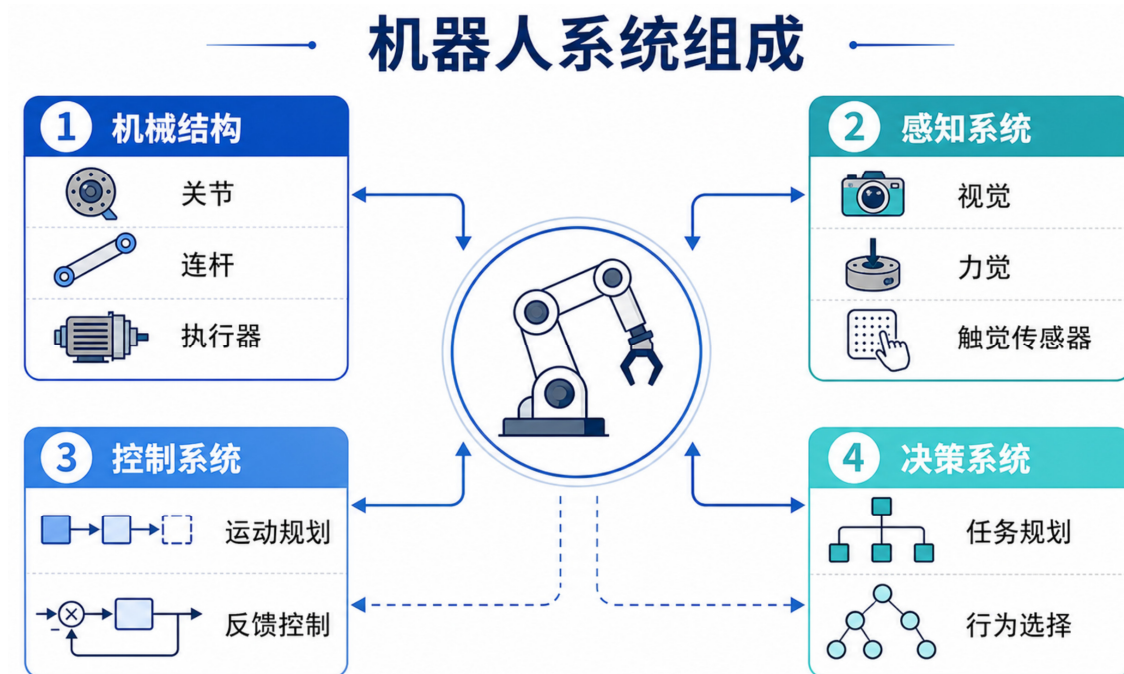
### CONTENTS

- 一、具身认知的哲学与科学基础
- 二、**机器人学基础**
- 三、仿真环境与物理引擎
- 四、强化学习基础
- 五、模仿学习与Diffusion Policy
- 六、视觉-语言-动作 (VLA) 模型
- 七、世界模型与Sim2Real

# 机器人系统概述

## 机器人系统组成

- 机械结构：关节、连杆、执行器
- 感知系统：视觉、力觉、触觉传感器
- 控制系统：运动规划、反馈控制
- 决策系统：任务规划、行为选择

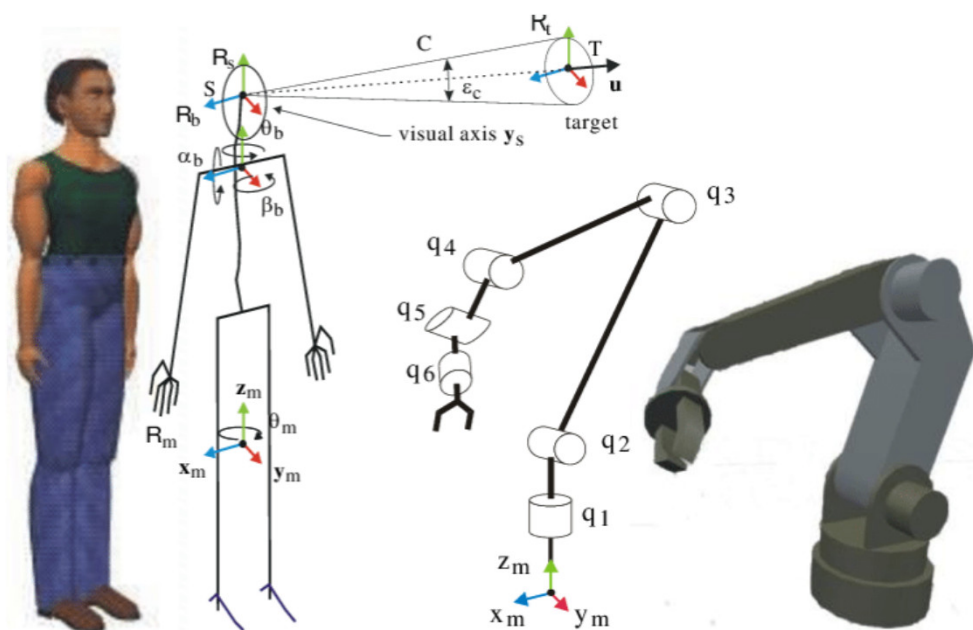


形态	代表产品	自由度	应用场景
操作型	Franka, UR5e	6-7 DoF	工业装配、精密操作
足式型	Spot, Atlas	12-30 DoF	复杂地形巡检
人形	Optimus, Figure 02	50+ DoF	通用服务、工业协作

# | 正运动学

**正运动学：** 已知关节角 $\rightarrow$ 计算末端位姿

- Denavit-Hartenberg参数法
- 齐次变换矩阵连乘
- 应用：路径规划、碰撞检测



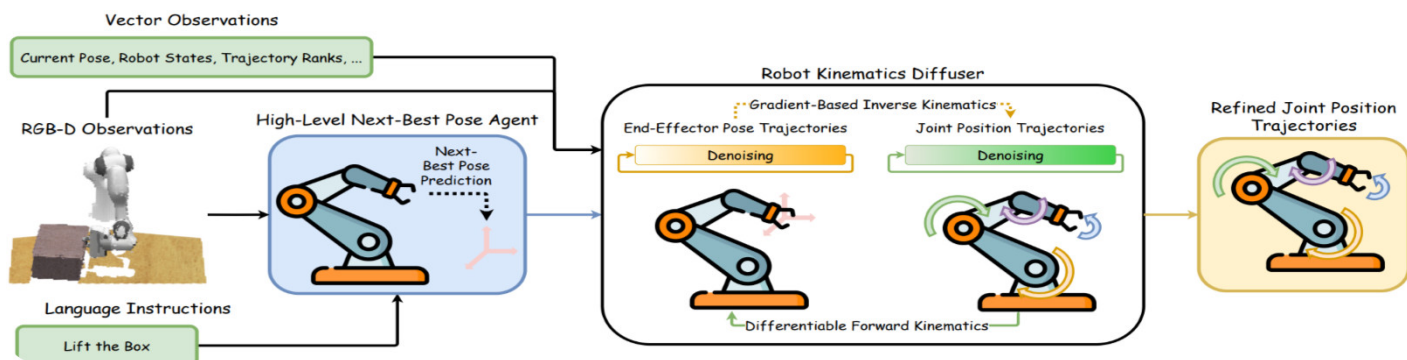
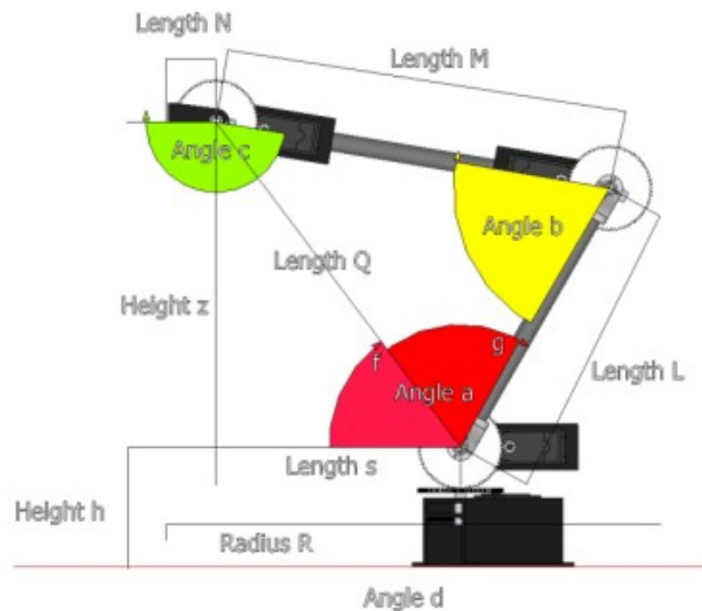
**实践要点：** 现代仿真环境（MuJoCo、Isaac Sim）内置了自动的正逆运动学求解，研究者通常不需要手动推导D-H参数。但理解其原理对调试和自定义场景仍然重要。

# 逆运动学

**逆运动学**：已知末端位姿→求解关节角

- 解析法：封闭解，速度快
- 数值法：迭代优化，通用性强
- 应用：抓取、操作、避障

可微分IK、学习-based IK是前沿方向。



# | 机器人动力学与控制基础

$$M(\theta)\ddot{\theta} + C(\theta, \dot{\theta})\dot{\theta} + G(\theta) = \tau$$

## PID控制

最广泛的工业控制器

比例-积分-微分反馈

简单但无法处理复杂约束

## 模型预测控制 MPC

有限时域优化问题

预测未来轨迹

足式机器人广泛使用

## 阻抗/导纳控制

控制力-位移关系

弹簧-阻尼模型

人机协作安全关键

## 与具身智能的关系

- 传统控制方法需要精确的机器人模型
- 具身智能通过**强化学习**学习策略，可以绕过精确建模
- 理解传统控制有助于设计奖励函数、动作空间和约束

## | 传感器与感知系统

### 视觉传感器

RGB相机 · 深度相机 (RealSense)  
事件相机 · 全景相机

### 触觉传感器

力/力矩传感器  
DIGIT / GelSight触觉阵列

### 本体感觉

关节编码器 · IMU  
电流环 (间接测量力矩)

### 其他传感器

LiDAR · GPS  
麦克风 (语音指令)

**技术趋势：** 2024-2025年VLA模型主要依赖RGB视觉，但**多模态融合**（视觉+触觉+本体感觉）正在成为新方向。DreamTacVLA（2026）首次将触觉信号整合进VLA框架。

## | 传感器融合与状态估计

### 卡尔曼滤波 KF

融合相机、激光雷达、触觉等多源传感器数据。

### 粒子滤波

卡尔曼滤波、粒子滤波处理不确定性感知。

### 端到端表征学习

SLAM技术实现同时定位与地图构建。

多模态感知是具身智能的核心能力，传感器融合质量直接决定系统性能上限。

## | 动作空间设计

动作空间	描述	优点	缺点
关节空间	直接输出关节位置/速度/力矩	不需IK求解, 可直接执行	不同机器人构型不同, 难跨本体迁移
末端执行器空间	6-DoF位姿+夹爪开合	与本体解耦, 便于跨本体泛化	需要下游IK求解器
全身体控制	基座移动+手臂操作	适用于移动操作和人形	20-50+ DoF, 学习难度高

**RT-2动作空间**: 8维 ( $\Delta x, \Delta y, \Delta z, \Delta roll, \Delta pitch, \Delta yaw$ , 夹爪开合, 终止标志), 每维均匀量化为256个离散bin, 转化为"伪语言token"供VLM处理。

## | 机器人任务的类型学

### 操作任务

抓取、放置、装配  
工具使用、折叠

### 导航任务

点目标、物体目标  
视觉语言导航VLN

### 移动操作

导航+操作结合  
人形机器人核心场景

### 足式运动

双臂协调、人机协作等复杂交互任务。

### 接触丰富任务

移动操作、社交交互等高级任务。

# | 机器人系统的数学抽象：MDP

## 马尔可夫决策过程五元组 (S, A, P, R, $\gamma$ )

**S** 状态空间：视觉观测+本体感觉+语言指令

**A** 动作空间：关节/末端执行器控制

**P** 转移概率：物理动力学决定

**R** 奖励函数：评估动作好坏

**$\gamma$**  折扣因子：权衡即时与未来奖励

### 马尔可夫性质

下一状态只依赖当前状态和动作，与历史无关

**POMDP**：部分可观测环境需引入信念状态或历史观测

**最优策略**：  $\pi^* = \operatorname{argmax} E[\sum \gamma^t r_t]$  —— 最大化期望累积折扣奖励。策略  $\pi(a|s)$  定义了  
在状态s下选择动作a的概率。

## 本节内容

### CONTENTS

- 一、具身认知的哲学与科学基础
- 二、机器人学基础
- 三、**仿真环境与物理引擎**
- 四、强化学习基础
- 五、模仿学习与Diffusion Policy
- 六、视觉-语言-动作 (VLA) 模型
- 七、世界模型与Sim2Real

# 为什么需要仿真?

## 1 数据效率

Isaac Gym可并行4096个环境  
训练从数月压缩到数小时

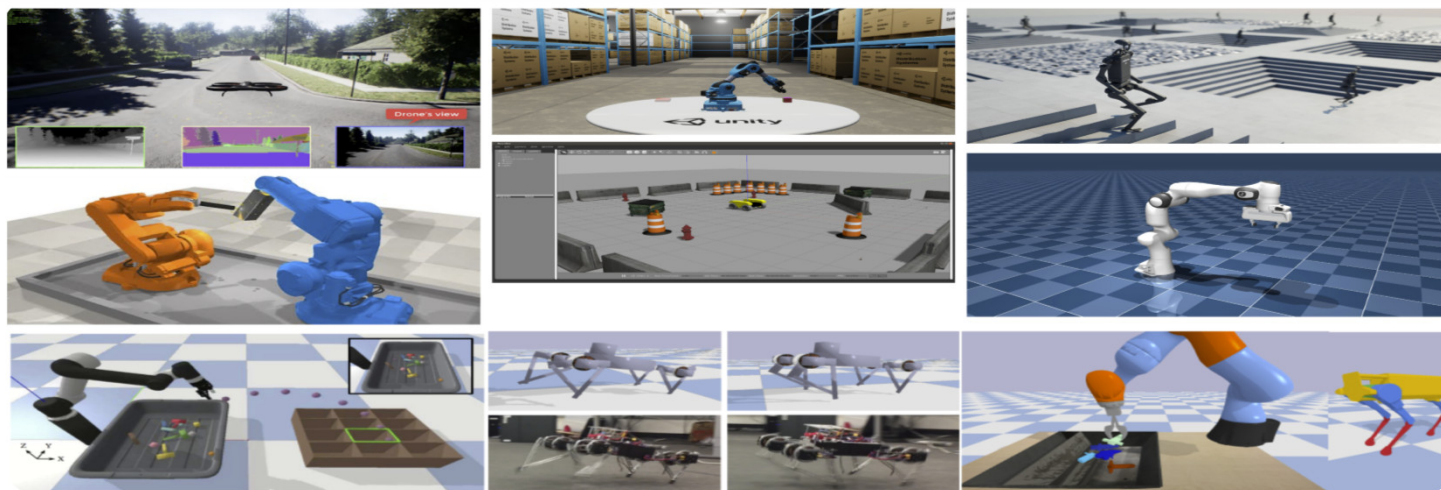
## 2 安全性

仿真提供"安全沙箱"  
允许算法自由探索

## 3 可重复与可扩展

完全可重复 (相同随机种子)  
轻松创建多样化场景

真实机器人实验成本高、危险且耗时。



## | 主流物理引擎概述

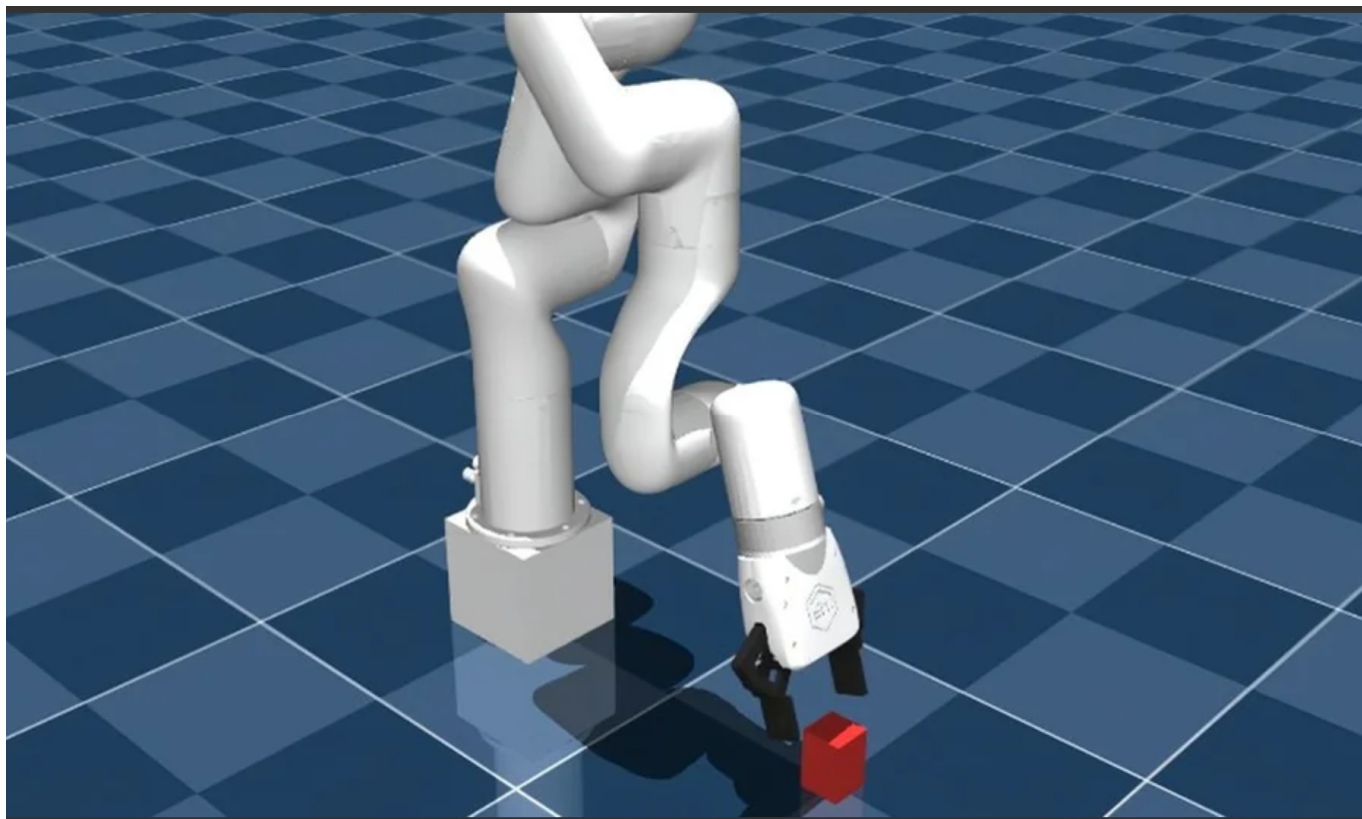
引擎	开发方	优势	适用场景
MuJoCo	DeepMind (开源)	计算精度和数值稳定性, 复杂接触动力学	精度敏感任务、研究首选
PhysX	NVIDIA	GPU加速, 大规模并行仿真	Isaac Sim/Gym/Lab基础
Bullet	开源	轻量易用, Python接口简单	快速原型开发、教育
其他	ODE/Havok/Chrono	各有专精领域	特定应用场景

**选择原则:** 没有"最好的"物理引擎, 只有"最适合的"。精度敏感→MuJoCo; 大规模并行→PhysX; 快速原型→Bullet; 车辆动力学→Chrono。

# | MuJoCo与DeepMind Control Suite

## **MuJoCo**: 接触物理仿真引擎

- 由DeepMind开源, 免费使用
- 精确接触动力学仿真
- 支持强化学习训练
- Python接口, 易于集成



# | NVIDIA Isaac生态

## Isaac Gym (2021)

Isaac Sim: NVIDIA高保真GPU加速仿真平台。

## Isaac Sim (2022+)

Isaac Gym: 并行RL训练环境, 支持数千个环境同时训练。

## Isaac Lab (2024)

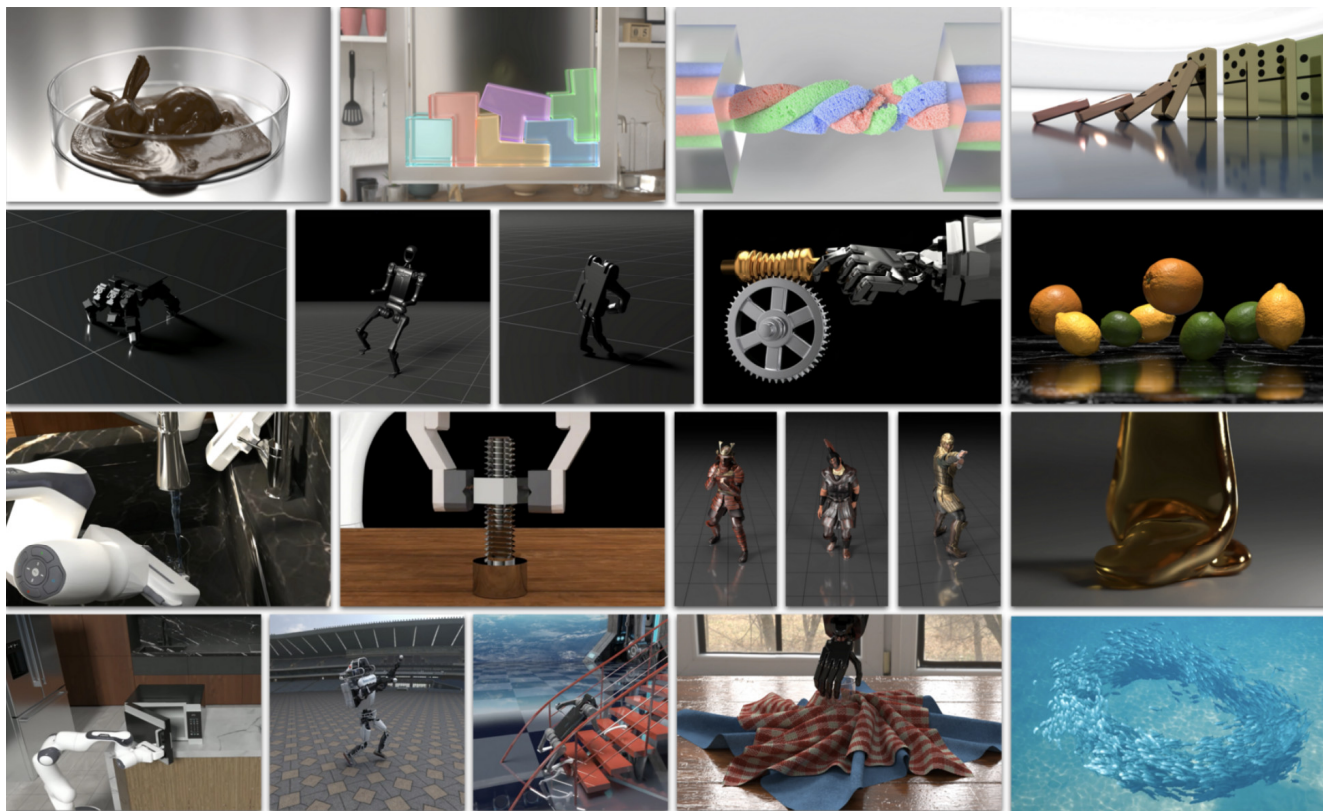
Isaac Lab: 统一框架, 整合Sim与Gym功能。



# | Genesis: 通用物理引擎新势力

## Genesis: 新一代物理仿真平台

- 支持多种物理引擎后端
- 照片级真实感渲染
- 与生成式AI深度集成
- 开源且易于扩展



# | SAPIEN与ManiSkill: 操作任务专用平台

## SAPIEN

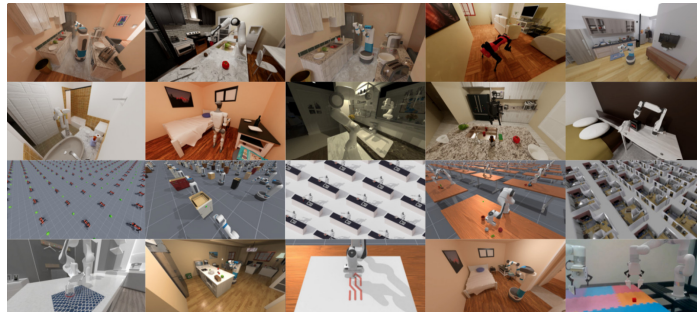
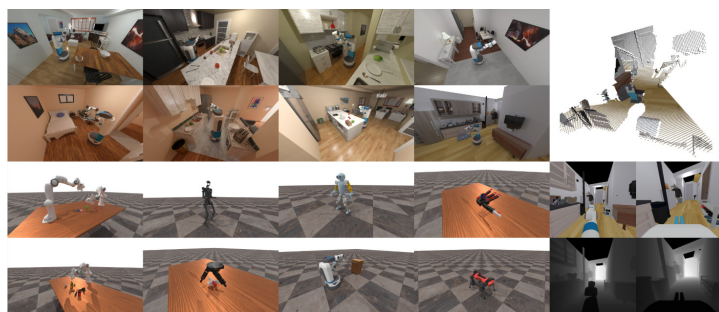
UC San Diego开发  
零件级物理仿真  
(抽屉、柜门等活动部件)  
GPU并行渲染

## ManiSkill3 (2024)

数十个操作任务  
30000+ FPS数据收集  
GPU并行  
视觉/点云观测

## RLBench

Imperial College London  
100+操作任务标准化  
Franka机械臂  
VLA模型标准评估平台



## 仿真环境对比与选择指南

特性	MuJoCo	Isaac Sim	Isaac Gym	Genesis	SAPIEN	RLBench
并行能力	中等	高	极高	极高	高	中
渲染质量	基础	照片级	基础	照片级	高	中
接触精度	极高	高	高	高	高	高
软体/流体	有限	支持	有限	全面	有限	有限
学习曲线	平缓	陡峭	中等	中等	平缓	平缓
开源	是	是	是	是	是	是

**选择建议：** 入门→MuJoCo+DMC | 大规模并行→Isaac Gym/Genesis | 视觉策略→Isaac Sim  
| 操作任务→ManiSkill3/RLBench | 可微物理→Genesis

## 本节内容

### CONTENTS

- 一、具身认知的哲学与科学基础
- 二、机器人学基础
- 三、仿真环境与物理引擎
- 四、强化学习基础**
- 五、模仿学习与Diffusion Policy
- 六、视觉-语言-动作 (VLA) 模型
- 七、世界模型与Sim2Real

# | 强化学习概述

## 强化学习核心框架

- 智能体在环境中通过试错学习
- 目标：最大化累积奖励
- 关键挑战：探索与利用平衡
- 在机器人控制中广泛应用



从Q-Learning(1989)到PPO(2017)再到SAC(2018)。

## | 值函数与贝尔曼方程

### 状态值函数 $V^{\pi}(s)$

从状态 $s$ 出发，遵循策略 $\pi$ 的期望累积折扣奖励

### 动作值函数 $Q^{\pi}(s,a)$

从状态 $s$ 执行动作 $a$ 后再遵循 $\pi$ 的期望累积折扣奖励

$$\text{贝尔曼方程: } Q^{\pi}(s,a) = R(s,a) + \gamma E[V^{\pi}(s')]$$

$$\text{贝尔曼最优方程: } Q^*(s,a) = R(s,a) + \gamma E[\max_{a'} Q^*(s',a')]$$

**核心洞察：**贝尔曼方程的递归结构意味着——只要知道下一步的最优值，就能计算当前步的最优值。这为值迭代、Q-Learning等算法提供了理论基础。

## | 策略梯度与Actor-Critic架构

$$\text{策略梯度定理: } \nabla J(\theta) = E[\nabla \log \pi_{\theta}(a|s) \cdot A^{\pi}(s,a)]$$

### 策略梯度定理

- 直接优化策略参数 $\theta$
- 目标: 最大化期望累积奖励
- 梯度估计:  $\nabla J = E[\nabla \log \pi(a|s) \cdot Q(s,a)]$

### 技术演进

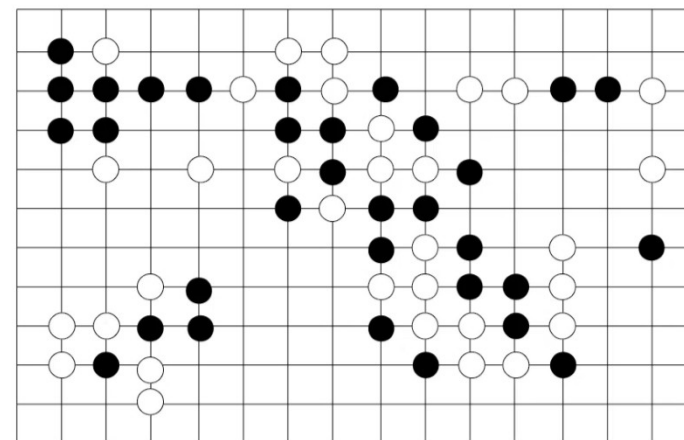
- REINFORCE: 蒙特卡洛梯度估计
- A2C/A3C: 引入Critic减少方差
- TRU: 信任区域更新稳定训练

# | PPO算法详解 (上)

## PPO: 近端策略优化

- 裁剪目标函数限制策略更新幅度
- 平衡样本效率与训练稳定性
- OpenAI默认RL算法
- 实现简单, 超参数鲁棒

Go Game



$$L^{\text{CLIP}}(\theta) = E[\min(r_t \cdot \hat{A}_t, \text{clip}(r_t, 1-\epsilon, 1+\epsilon) \cdot \hat{A}_t)]$$

**直观理解:** 当 $r_t > 1+\epsilon$ 时, 如果 $\hat{A}_t > 0$  (好动作), 目标取裁剪值阻止进一步增大; 如果 $\hat{A}_t < 0$  (坏动作), 不裁剪允许降低选择概率。不对称裁剪确保策略不会突变。

# | PPO算法详解 (下)

## 训练流程

**Step 1** — 数据采集：使用当前策略运行N个episode，收集轨迹

**Step 2** — 优势估计：使用GAE计算每个时间步的优势值

**Step 3** — 策略更新：K轮小批量梯度上升优化裁剪目标

**Step 4** — 值函数更新：最小化值预测误差

## 优缺点

实现简单、超参数鲁棒、样本效率较高。

对连续动作空间支持有限，超参数敏感。

## | SAC算法详解

$$J(\pi) = \sum E[r(s_t, a_t) + \alpha H(\pi(\cdot | s_t))]$$

### SAC: 最大熵强化学习

- 同时学习Q函数和策略
- 引入熵正则化鼓励探索
- 自动调整温度参数 $\alpha$
- 连续动作空间的SOTA算法

维度	PPO	SAC
策略类型	On-policy	Off-policy
样本效率	较低	较高
探索机制	随机噪声	熵最大化
实现复杂度	简单	中等
典型应用	大规模并行	样本受限

**实践建议:** 仿真环境充足→PPO; 真实机器人/样本受限→SAC。SAC的回放缓冲区机制使其在真实机器人上更高效。

## | RL在机器人中的应用与挑战

### 1 样本效率

→ Sim2Real迁移 / 演示初始化

2 真实环境交互成本高、危险。

### 3 安全性

→ Safe RL约束优化 (CPO、SDA)

4 仿真到现实迁移存在域差距。



# | 从RL到模仿学习：为什么需要演示

## 模仿学习方法

- **行为克隆 (BC)**：将演示视为监督学习
- **DAgger**：迭代收集专家标注
- **RL from Demonstrations**：演示初始化+RL微调

VLA模型本质上是**大规模模仿学习**



## 2023-2024 数据革命

Open X-Embodiment (100万+轨迹) · DROID · BridgeData V2

## 本节内容

### CONTENTS

- 一、具身认知的哲学与科学基础
- 二、机器人学基础
- 三、仿真环境与物理引擎
- 四、强化学习基础
- 五、模仿学习与Diffusion Policy**
- 六、视觉-语言-动作 (VLA) 模型
- 七、世界模型与Sim2Real

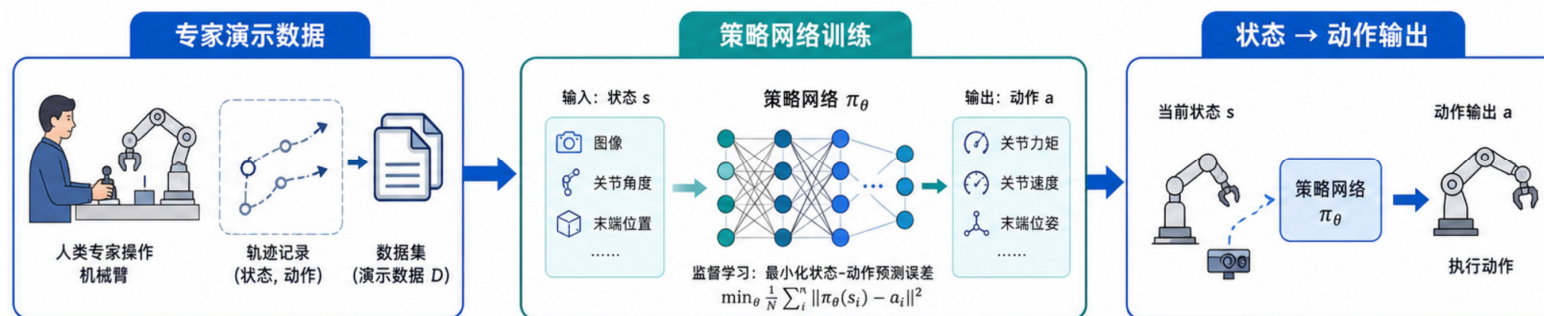
# 行为克隆：模仿学习的基础

$$L_{BC} = E[(s,a) \sim D] \|\pi_{\theta}(s) - a\|^2$$

## 行为克隆：监督学习模仿专家

- 收集专家演示数据
- 训练策略网络拟合状态-动作映射
- 简单高效但存在复合误差
- DAgger通过迭代收集改善

DAgger迭代收集训练数据，缓解分布偏移。



## 大规模机器人数据集的崛起

数据集	规模	特点	用途
Open X-Embodiment	100万+轨迹	21机构60数据集, 22种机器人	RT-X, Octo, OpenVLA训练
DROID	8万条	多样性'野外'操作数据	泛化能力评估
BridgeData V2	6万条	低成本双臂 (<5000美元)	低成本数据收集示范
AgiBot-World	百万级	国产, 人在回路验证	通用操作策略训练

**意义：** 这些数据集使训练通用机器人策略成为可能。数据多样性（跨任务、跨环境、跨本体）可能比数据总量更重要——Figure AI的CEO称之为“数据飞轮”。

# Diffusion Policy: 动机与核心思想

行为克隆输出单峰分布，无法表达多模态行为。扩散模型可建模复杂多峰分布。

## 解决方案

将动作生成建模为条件扩散过程：从随机噪声出发，迭代去噪生成符合专家分布的动作。

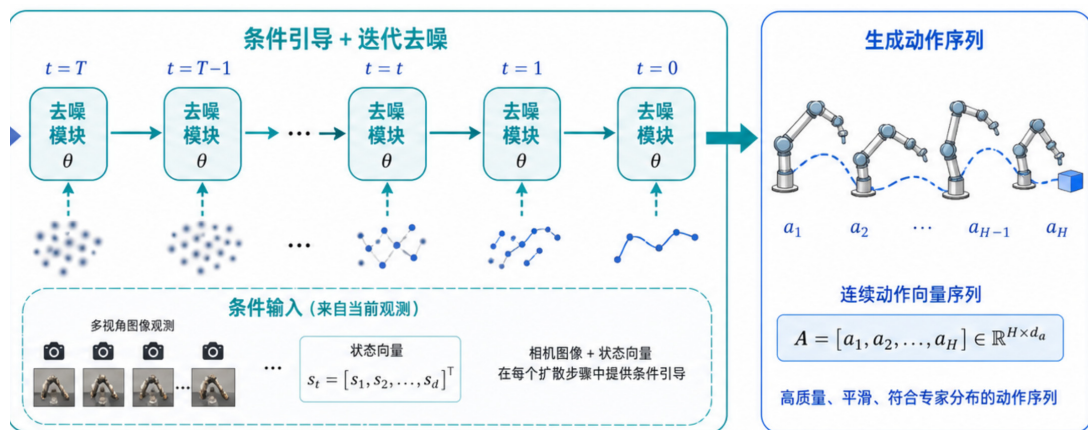
## 扩散模型数学基础

**前向过程：**逐步向动作添加高斯噪声

$$q(a^k|a^{\{k-1\}}) = N(a^k; \sqrt{(1-\beta_k)}a^{\{k-1\}}, \beta_k I)$$

**反向过程：**训练网络预测噪声，恢复动作

$$p_\theta(a^{\{k-1\}}|a^k, s) = N(a^{\{k-1\}}; \mu_\theta, \Sigma_k)$$



## | Diffusion Policy: 架构与训练

### 观测编码器

CNN/ViT提取图像特征  
MLP处理低维向量  
融合为条件向量 $c$

### 噪声预测网络

U-Net/Transformer架构  
时间步嵌入注入  
预测噪声 $\epsilon_\theta$

### 动作采样

从纯噪声开始  
迭代去噪  
获得干净动作 $a^0$

### 关键超参数

- 扩散步数 $K$ : 10-100 (步数越多质量越高但推理越慢)
- 噪声调度: cosine schedule最常用
- 动作序列长度 (Action Horizon) : 预测未来多步动作以提升时间一致性

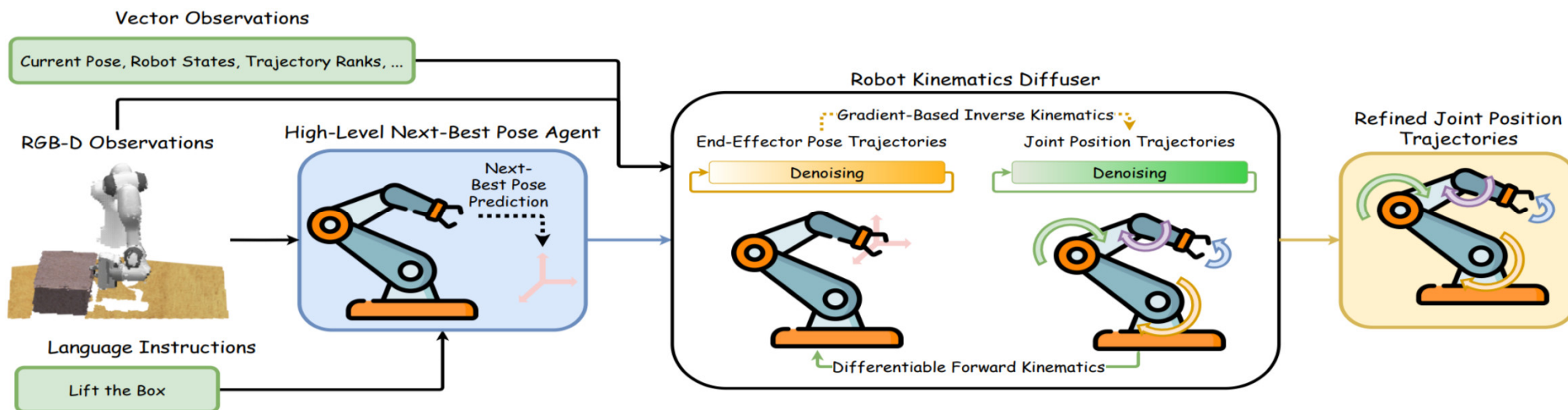
# Diffusion Policy: 优势与局限

## 优势

表达多模态行为、训练稳定、泛化能力强。

## 局限

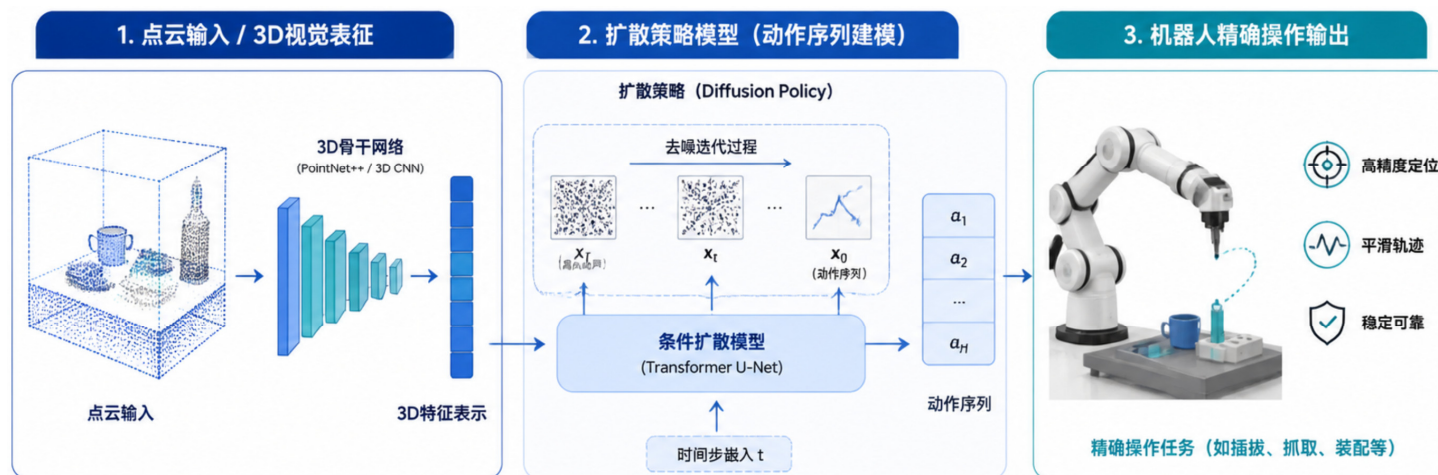
推理速度慢、计算成本高、需要大量数据。



# 3D Diffusion Policy (DP3)

## DP3: 3D视觉扩散策略

- 结合3D视觉表征与扩散模型
- 点云输入捕捉空间几何信息
- 在精确操作任务上表现优异
- 3D表征提升空间推理能力



DP3在精确操作任务上超越2D视觉方法。

## | Diffusion Transformer Policy

### **Octo (2024)**

DiT: 用Transformer替代扩散模型中的U-Net。

### **RDT-1B (2024)**

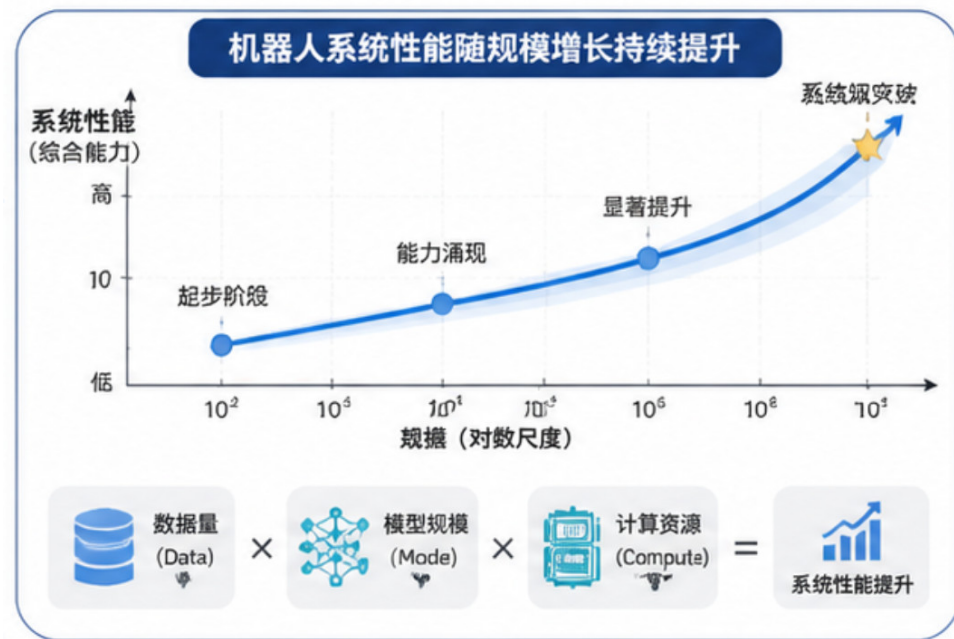
在图像生成和机器人控制中均表现优异。

DiT vs U-Net: DiT可扩展性更好, 支持大规模训练; U-Net在小型任务上更高效。

# 从模仿到泛化：数据Scaling Law

## Scaling Laws in Robotics

- 数据量增加→性能可预测提升
- 模型规模扩大→泛化能力增强
- 计算资源增长→训练更稳定
- 机器人领域验证GPT时刻



机器人领域的GPT时刻：规模带来质变。

## | 动作分块与闭环控制

### 动作分块

每次预测T步动作序列

减少推理频率

提升时间一致性

默认16步

### 闭环重规划

每步重新观测推理

保证最新状态

要求100+ Hz频率

VLA大模型难以实现

### 折中方案

重叠分块 (准闭环)

快慢分离

低频大脑~10Hz

高频小脑~100Hz

## TriVLA三系统架构 (2025)

- ① **感知系统**: 高频视觉处理 (~30Hz)
- ② **规划系统**: 低频VLA推理 (~10Hz), 输出目标或策略参数
- ③ **控制系统**: 高频传统控制器 (~100Hz), 执行闭环跟踪

这种"大脑-小脑"分离架构平衡了语义理解能力和实时控制需求。

## 本节内容

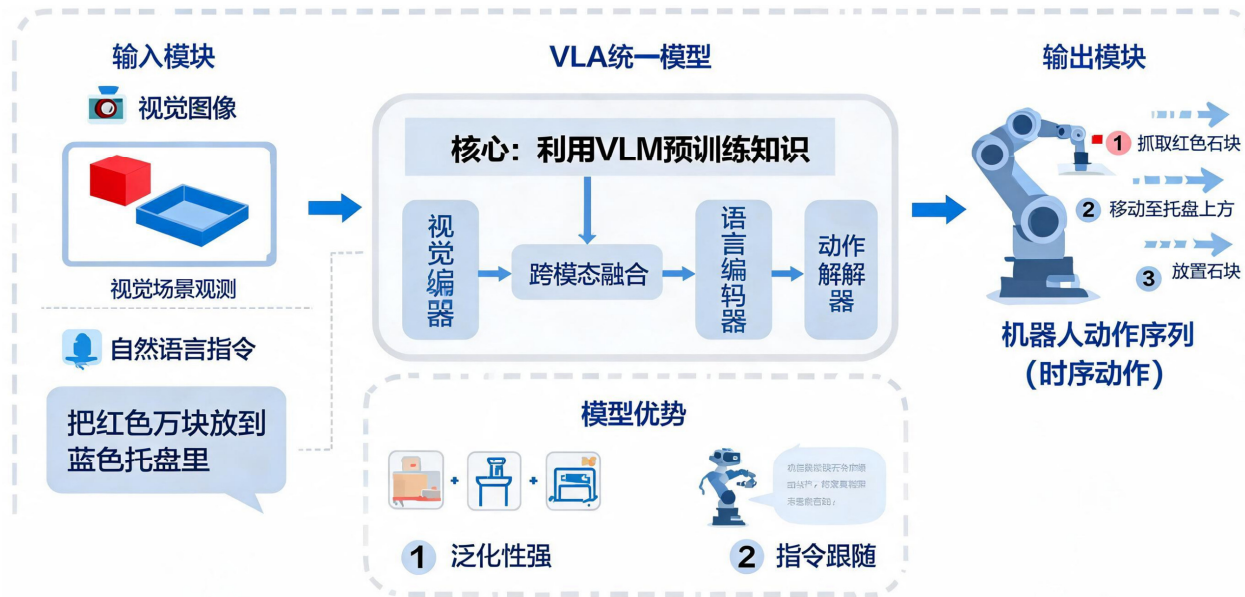
### CONTENTS

- 一、具身认知的哲学与科学基础
- 二、机器人学基础
- 三、仿真环境与物理引擎
- 四、强化学习基础
- 五、模仿学习与Diffusion Policy
- 六、视觉-语言-动作 (VLA) 模型**
- 七、世界模型与Sim2Real

# VLA模型概述

## VLA模型：视觉-语言-动作统一

- 输入：视觉图像 + 自然语言指令
- 输出：机器人动作序列
- 核心：利用VLM预训练知识
- 优势：泛化性强、指令跟随



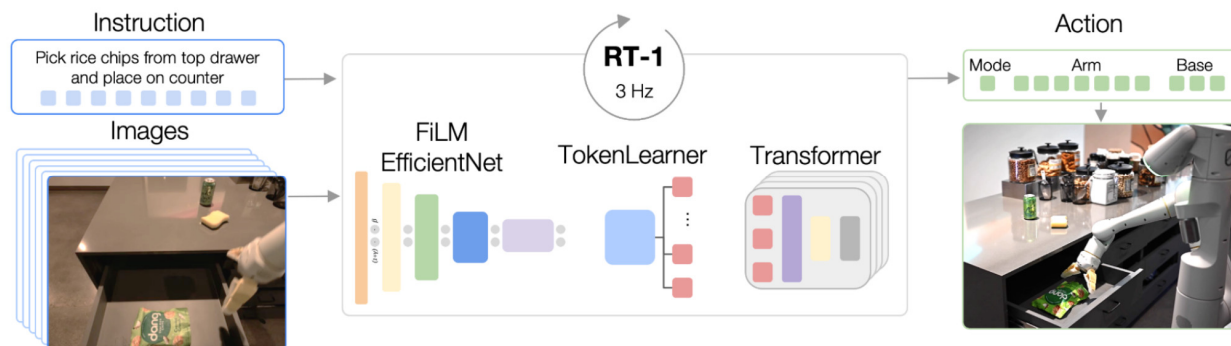
三阶段发展：萌芽期(2022-2023) → 爆发期(2023-2024) → 优化期(2024-2025)

**革命性优势**：VLA实现了“高层语义指令→低层物理行动”的直接映射，相比传统流水线方法（感知→语义理解→任务规划→运动规划→控制）大幅简化。

# | RT-1: VLA的奠基之作

## 首个展示Transformer在机器人控制中可扩展性的工作

- 17个月、13台机器人、约13万条轨迹
- EfficientNet-B3视觉编码 + FiLM条件
- Transformer解码器输出8维动作
- 700+任务，证明大规模数据→强泛化

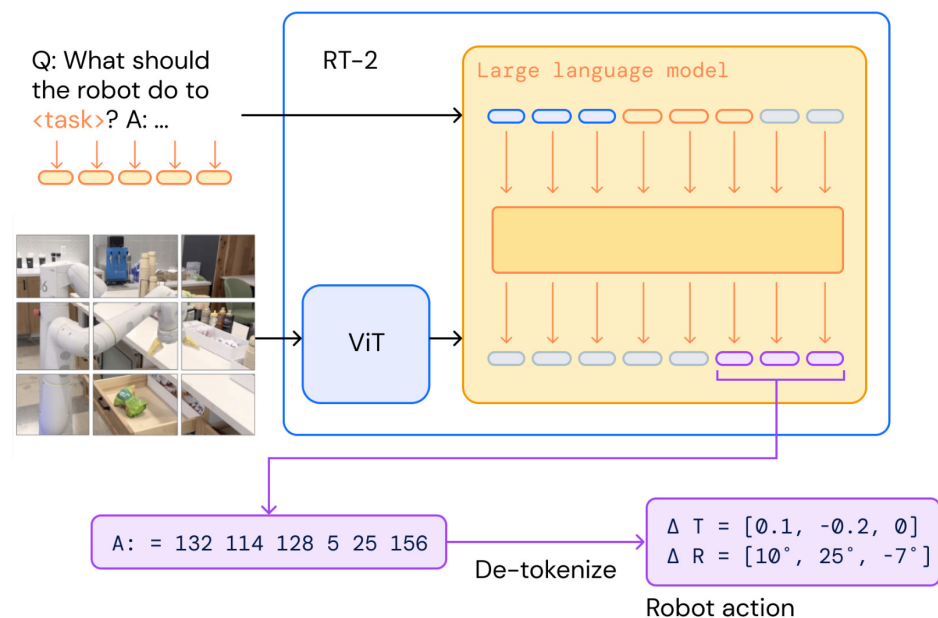


**核心贡献:** RT-1证明了Transformer+大规模数据可实现机器人策略的强泛化。

# RT-2: 将VLM知识迁移到机器人控制

## RT-2: 将VLM直接转化为机器人策略

- 使用PaLI-X/PaLM-E作为视觉-语言预训练骨干
- 端到端训练：视觉+语言指令→机器人动作
- 涌现能力：符号理解、推理、多语言跟随
- 泛化到未见过物体和抽象指令

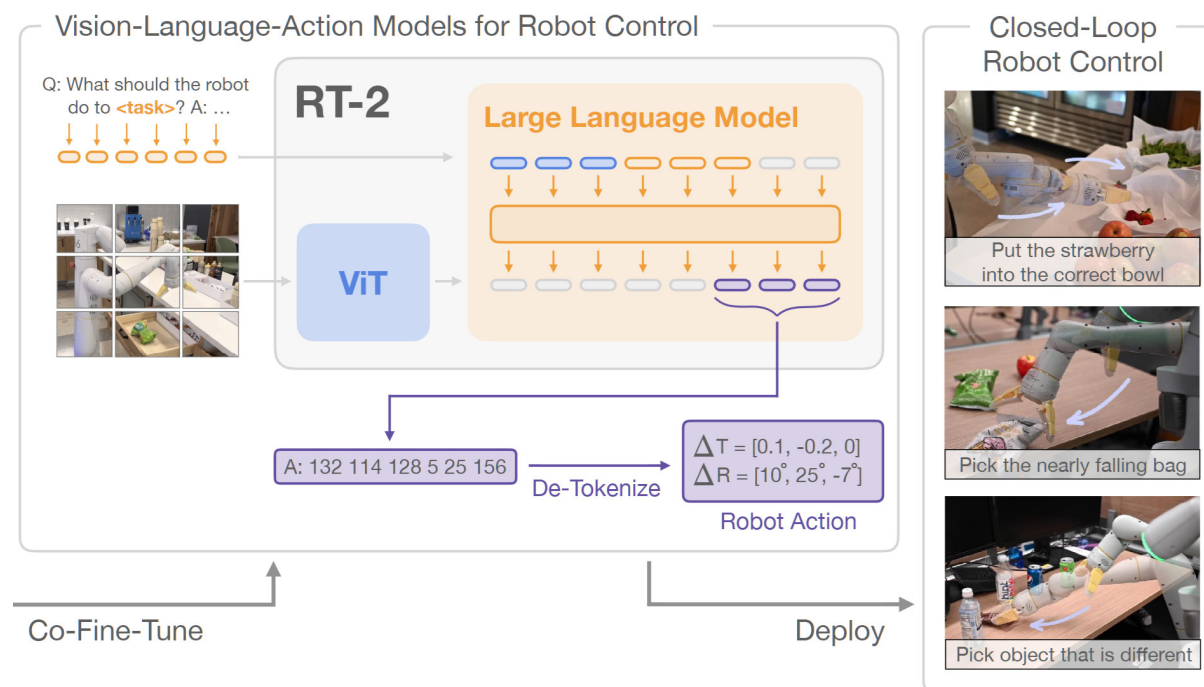


例如：对"捡起已灭绝动物"的指令，RT-2能从恐龙玩具中正确选择。

# RT-2的架构细节与推理

## RT-2架构: VLM + 动作微调

- 保留VLM的预训练权重和推理能力
- 将连续动作离散化为token序列
- 联合训练视觉-语言-动作目标
- Co-training比例约1:1防止灾难性遗忘

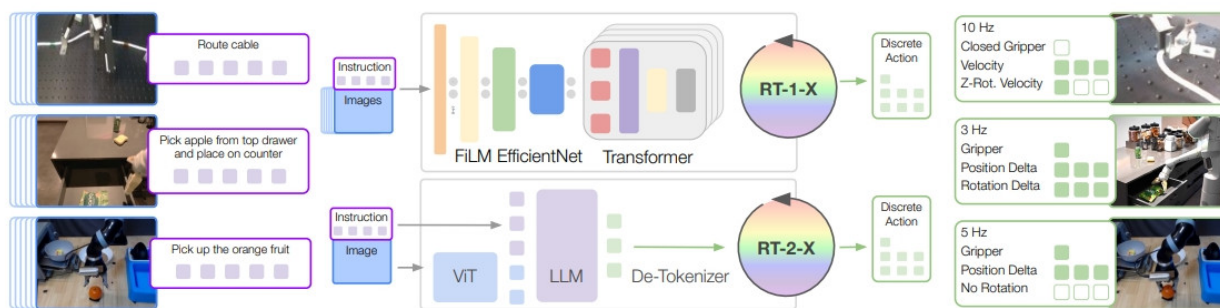


**局限:** 计算成本高、推理延迟大、对精确操作任务表现有限。

# RT-X: 跨本体泛化的尝试

## RT-X: 大规模机器人协作训练

- 汇集22种机器人、约100万条轨迹
- 多机构协作的大规模实验
- 验证跨机器人迁移的可行性
- 开源Open X-Embodiment数据集

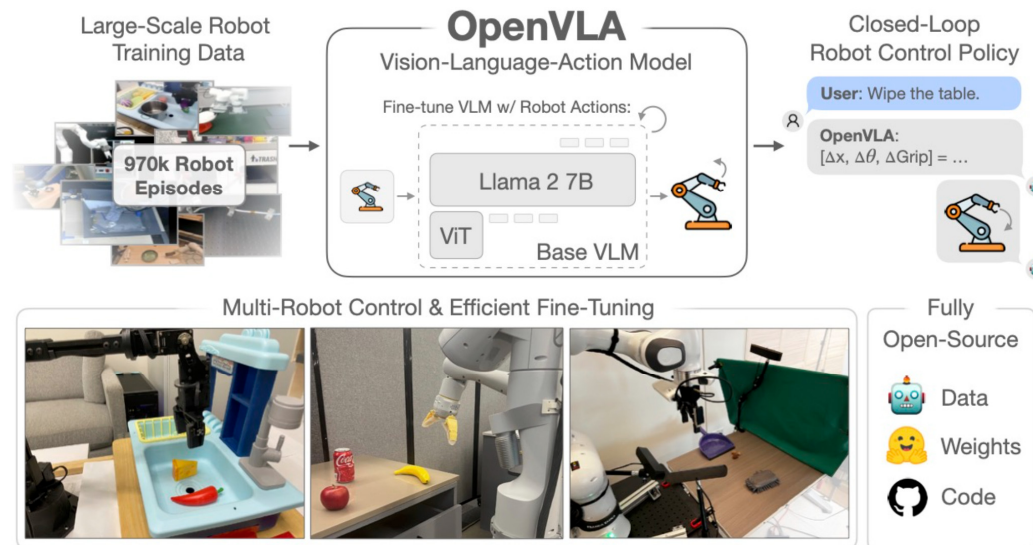


RT-X是机器人领域最大规模的协作研究项目。

# OpenVLA: 开源VLA的标杆

## OpenVLA: 全开源VLA方案

- 基于Llama 2 + DINOv2视觉编码
- 完全开源 (模型、数据、代码)
- 支持多种机器人平台微调
- 7B参数, 消费级GPU可运行

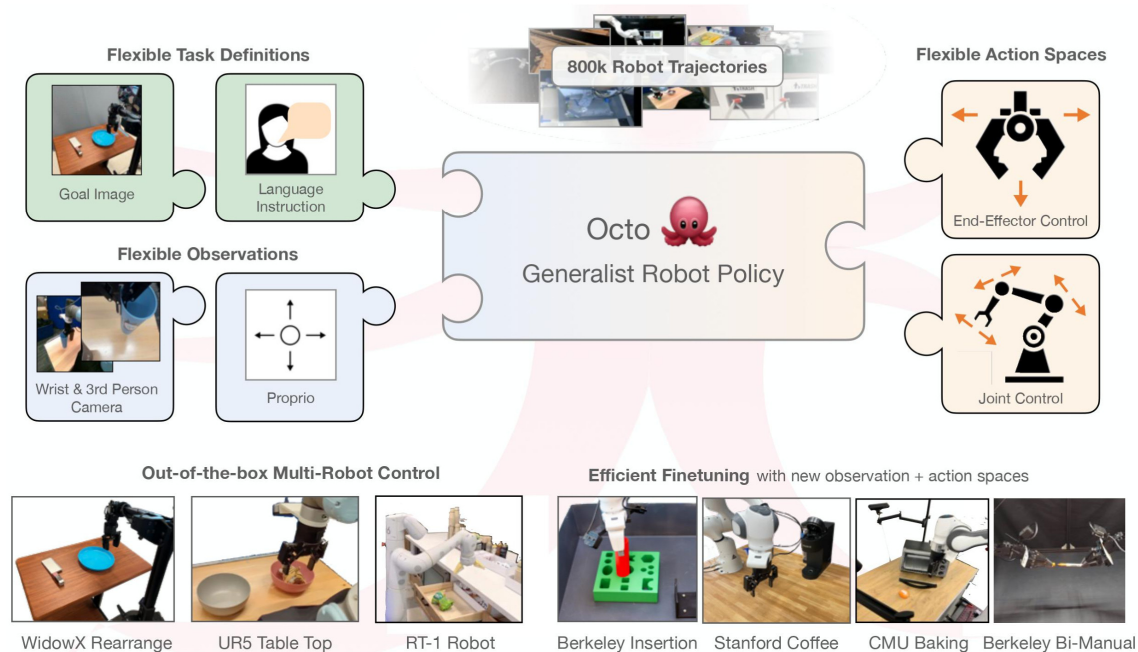


**OpenVLA-OFT:** 引入并行解码减少推理延迟, 在下游任务上的成功率比基础OpenVLA提升**15-30%**。

# Octo: 通用机器人策略

## Octo: 开源通才机器人策略

- 基于Transformer扩散模型的开源VLA
- 80万条轨迹、约100个数据集联合训练
- 支持多模态指令（语言、目标图像、动作）
- 模块化设计，易于微调和扩展

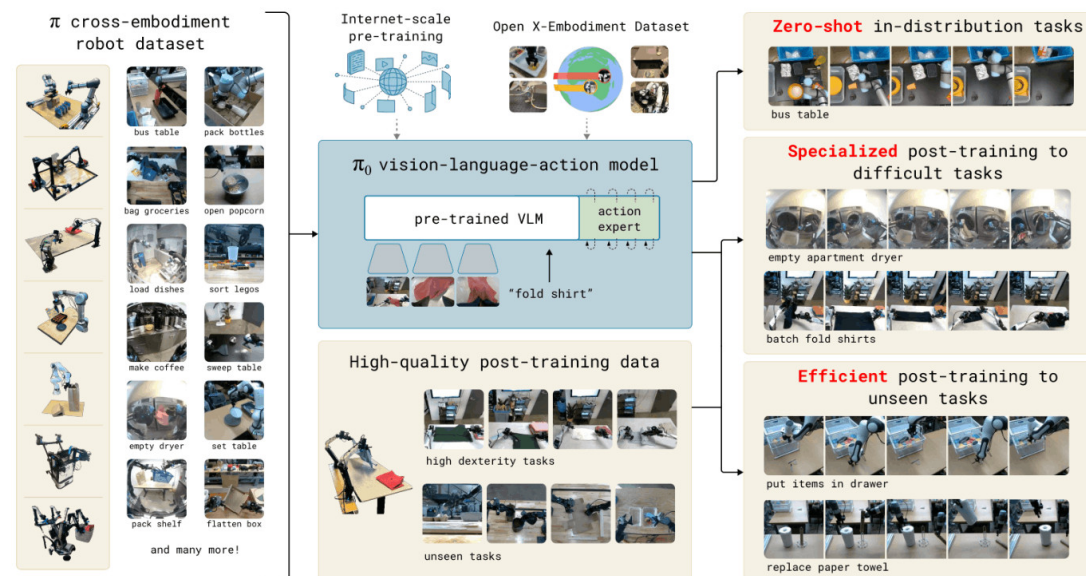


Octo vs RT-X: Octo完全开源（模型+数据+训练代码），RT-X仅开源部分组件。

# | $\pi_0$ 与 $\pi_{0.5}$ : 流匹配革命

## $\pi_0$ : 流匹配VLA模型

- 采用流匹配(Flow Matching)替代扩散模型
- 更快的推理速度, 更高的动作精度
- 支持高频控制 (50Hz) 和复杂操作
- 在真实机器人上验证的先进VLA系统



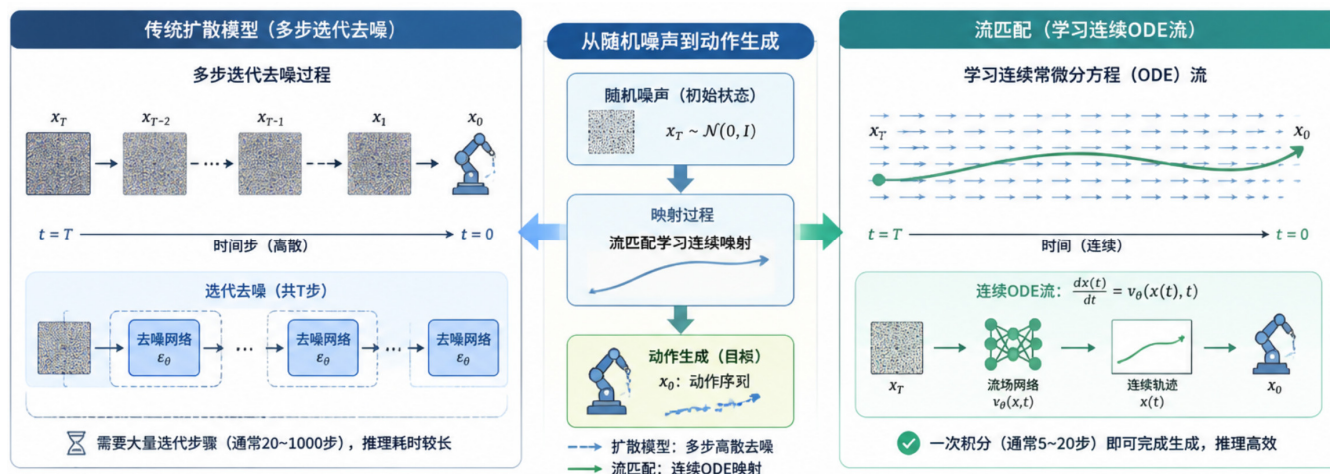
$\pi_0$ 是首个在真实环境中展示流匹配优势的VLA模型。

# | $\pi_0$ 的流匹配详解

$$\text{CNF: } dx/dt = v_t(x) \mid L_{\text{FM}} = E[\|v_t(x_t) - u_t(x_t)\|^2]$$

## 流匹配：扩散模型的加速替代

- 直接学习ODE流，无需迭代去噪
- 推理速度提升10-100倍
- 动作质量与扩散模型相当
- 适合实时机器人控制场景



**条件流匹配:** 将观测和语言指令注入向量场网络  $v_t(x_t; s, l)$ , 使生成的动作分布与当前情境匹配。推理时只需1-5步ODE积分即可获得动作。

# | $\pi$ 0.5: 开放世界泛化

## $\pi$ 0.5: 高效VLA的演进

- 在 $\pi$ 0基础上优化架构和训练策略
- 更高的数据效率和推理速度
- 支持更复杂的长期任务和推理
- 展示了VLA模型的持续改进路径

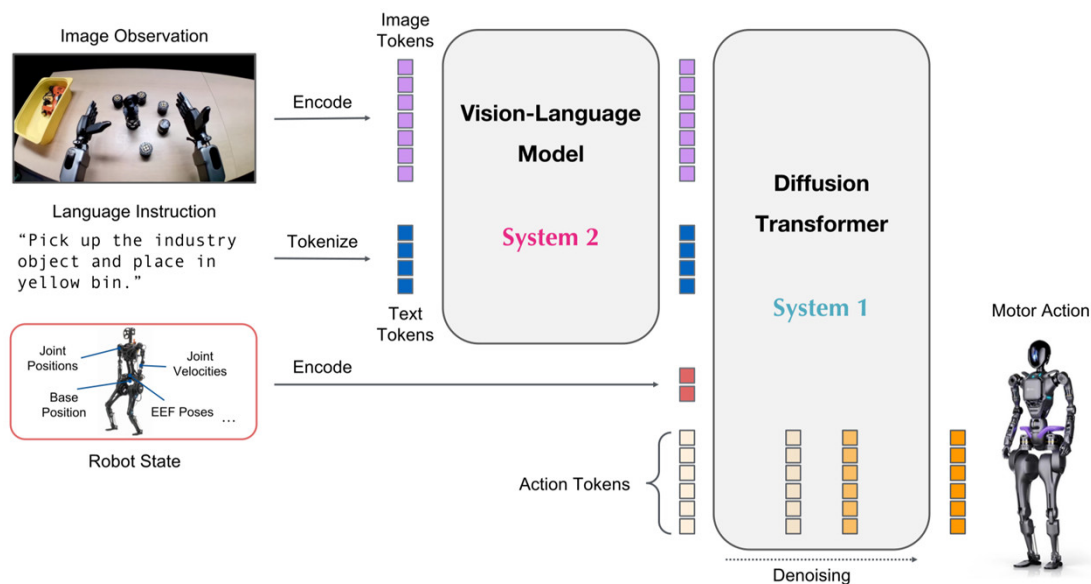


$\pi$ 0.5在保持性能的同时显著降低了训练和推理成本。

# | GROOT: NVIDIA的扩散Transformer策略

## GROOT: NVIDIA人形机器人基础模型

- NVIDIA推出的通用人形机器人VLA模型
- 支持自然语言指令和视觉感知
- 与Isaac Sim仿真平台深度集成
- 旨在成为机器人领域的GPT时刻



GROOT代表了科技巨头对具身智能的战略布局。

## VLA模型技术路线对比

维度	RT-2	OpenVLA	Octo	$\pi 0$	GR00T
动作表示	离散token	离散token	扩散连续	流匹配	流匹配
参数规模	55B	7B	93M	~3.5B	~8B
开源	否	是	是	否	是
控制频率	1-3Hz	3-5Hz	10Hz	50Hz	20-50Hz
跨本体	部分	是	是	是	人形专精
核心创新	Web知识迁移	开源标杆	轻量扩散	流匹配	DiT+生态

## | VLA的推理效率优化

### 1 动作分块

一次预测16步, ~5Hz执行

### 2 投机验证

轻量草稿模型+大VLA验证

### 3 模型量化与蒸馏

TinyVLA/EdgeVLA 4bit量化

### 4 并行解码

OpenVLA-OFT并行token解码

**Vision Language  
Action Models**



## | VLA的安全性与鲁棒性

### 对抗攻击

视觉和语言扰动敏感  
轻微噪声导致危险动作

### 后门攻击

训练数据中注入特定模式  
隐蔽后门触发恶意动作

### 安全机制

SAFE-Dict概念字典  
推理时安全检测

工业制造、物流仓储、家庭服务、医疗辅助、农业自动化等领域广泛应用前景。

# VLA + RL: 从模仿到超越

**核心思想:** 从模仿中初始化, 从探索中超越

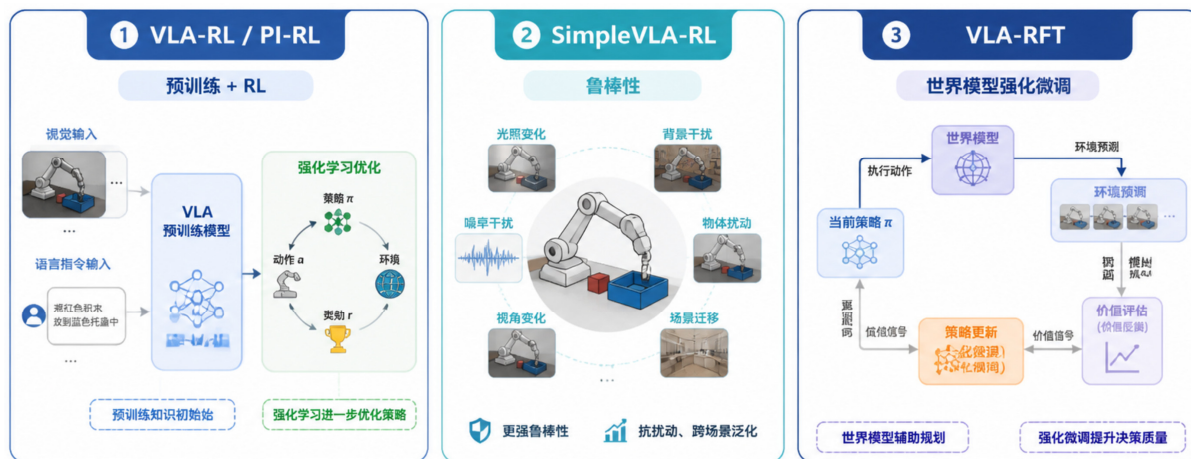
**方法:** VLA-RL/PI-RL预训练+RL ·

SimpleVLA-RL鲁棒性 · VLA-RFT世界模型

强化微调

**挑战:** 参数量大 · 动作分布复杂 · 混合架构

设计



**关键洞察:** VLA提供良好的初始化避免随机探索, RL通过环境反馈优化策略。VLA+RL融合是实现真正自主学习的关键路径。

## 本节内容

### CONTENTS

- 一、具身认知的哲学与科学基础
- 二、机器人学基础
- 三、仿真环境与物理引擎
- 四、强化学习基础
- 五、模仿学习与Diffusion Policy
- 六、视觉-语言-动作 (VLA) 模型
- 七、世界模型与Sim2Real

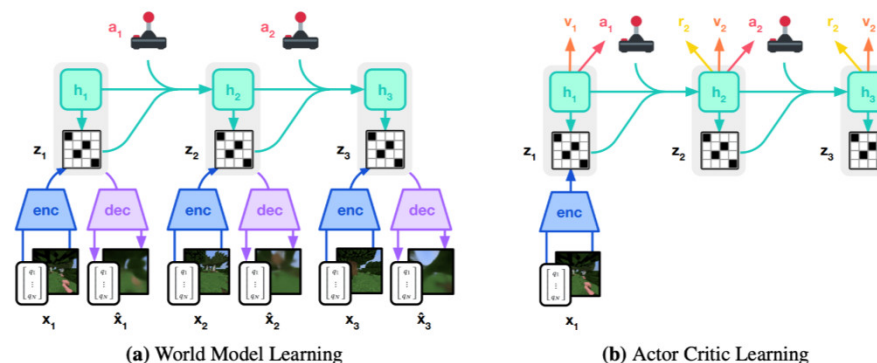
# | 世界模型的概念与动机

**核心思想：** 学习内部模拟器，预测动作后世界变化

**三重价值：** 样本效率 · 规划推理 · 因果理解

**思想渊源：**

Craik(1943)→Schmidhuber(1990)→Ha(2018)



**与具身智能的关系：** 世界模型让机器人在“想象中”学习，是解决样本效率问题的根本途径。与Clark的预测加工框架和LeCun的JEPA愿景一致。

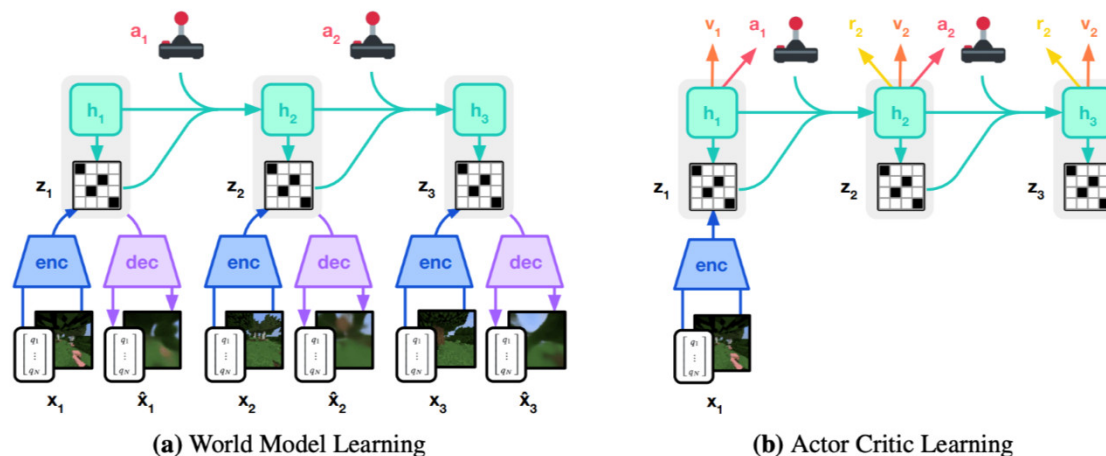
# RSSM: 循环状态空间模型

## Dreamer系列核心架构

### 状态分解

- 确定性路径  $h_t$  (编码历史)
- 随机状态  $s_t$  (编码不确定性)

训练目标: 重构损失 + KL散度约束



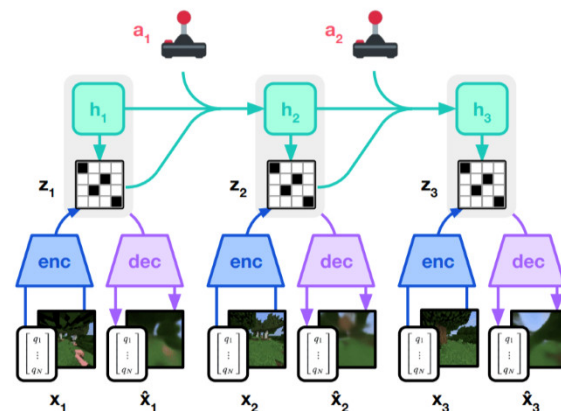
**关键洞察:** RSSM的"想象"能力来源于先验模型 $p(s_t|h_t)$ ——在没有真实观测的情况下, 可以通过链式预测生成未来轨迹。

# | DreamerV3: 统一超参数的突破

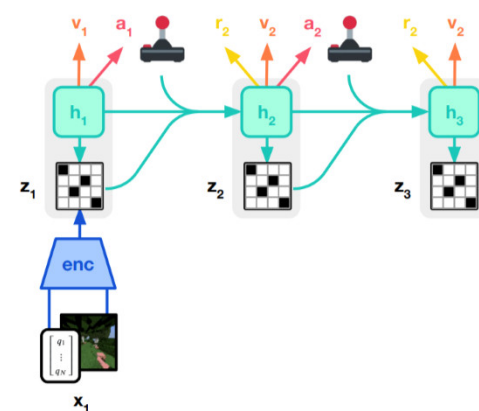
**发表于Nature:** 单一超参数跨越150+领域

**关键创新:** Symlog变换 · 自适应归一化 · 离散世界模型 · 两阶段策略

**Minecraft:** 首个从零收集钻石的算法



(a) World Model Learning



(b) Actor Critic Learning

**意义:** DreamerV3证明了世界模型方法的通用性和可扩展性——**无需针对每个任务调参**, 单一配置即可跨越完全不同的领域。

## | DayDreamer与真实机器人

**Unitree A1四足机器人**：1小时内从零学会行走

**核心流程**：初始探索→世界模型学习→想象中训练  
→真实部署→迭代优化

**关键洞察**："模型数据比真实数据更廉价"



**局限**：在简单领域（平地行走）表现良好，但在复杂领域（崎岖地形、操作任务）中模型误差累积，导致想象中训练的策略在真实环境中性能下降。

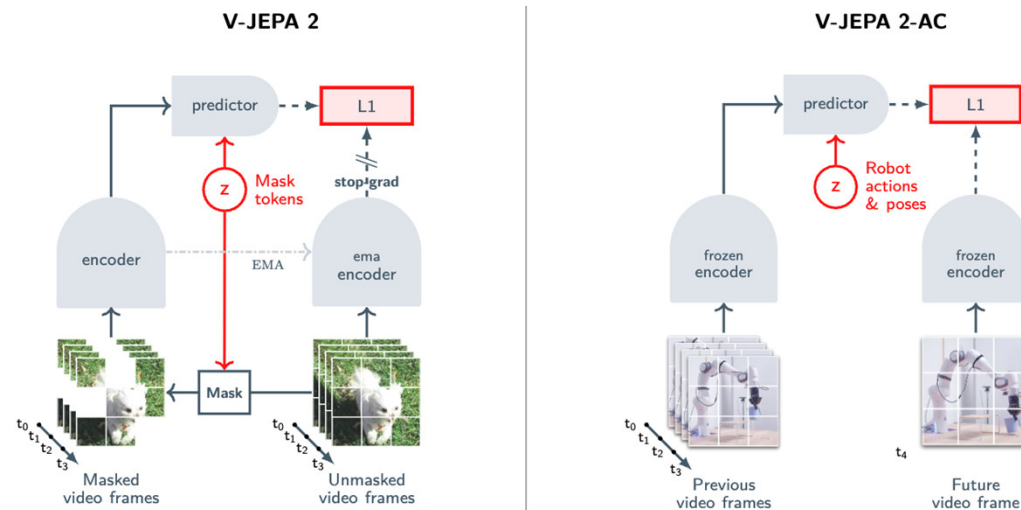
# | JEPA: LeCun的世界模型愿景

## 非生成式世界模型

批评生成式模型：预测原始数据是浪费的

**三模块：**感知编码器 · 预测器 · 目标编码器

**训练目标：**最小化预测表征与目标表征在隐空间的距离



**核心思想：**在抽象表征空间中预测，忽略无关细节（如风吹树叶的具体位置），关注语义结构和物理规律。

## | V-JEPA与V-JEPA 2

### I-JEPA (2023)

图像版JEPA

遮挡区域表征预测

ImageNet性能

与MAE等方法相当

### V-JEPA (2024)

视频版JEPA

3D多块掩码

遮挡约90%内容

200万视频训练

### V-JEPA 2 (2025)

12亿参数

VLA视觉骨干

动作预测

世界建模能力

## 与生成式世界模型对比

**优势：** 训练效率高 · 避免"幻觉" · 表征更抽象语义化

**批评：** 尚未在复杂控制任务上展示与DreamerV3或VLA相媲美的性能

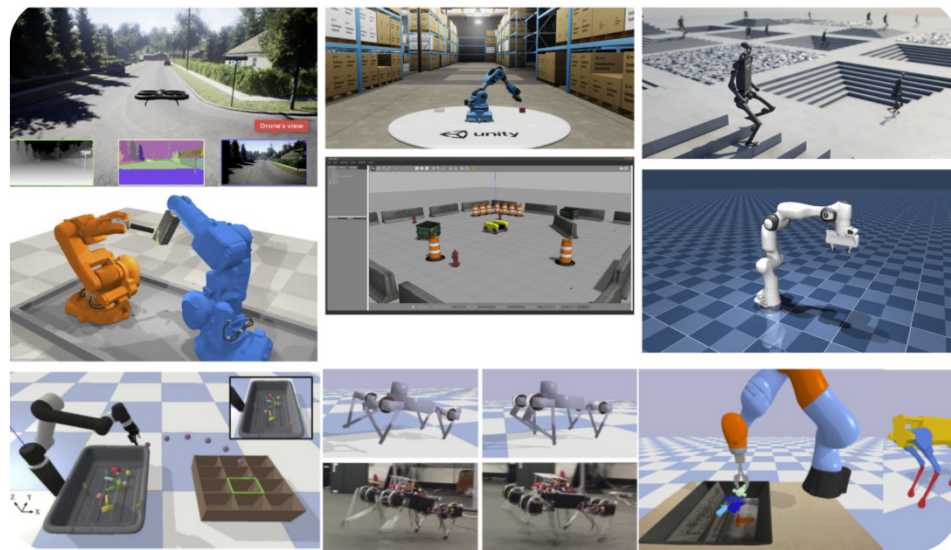
# | Sim2Real: 现实鸿沟与域随机化

## 现实鸿沟 (Reality Gap)

仿真与真实在物理/视觉/动力学上的差异

## 域随机化 (DR)

- 随机化视觉属性 (纹理、光照)
- 随机化物理属性 (质量、摩擦)
- 使策略学到跨域鲁棒特征



**自动域随机化:** ADR (OpenAI, 2019) 和DORAEMON (2023) 尝试自动调整随机化分布, 避免手动调参。

## | Sim2Real进阶：域适应与系统辨识

### 域适应

通过对抗训练减小仿真与现实的分布差异

### 系统辨识

精确测量物理参数  
构建高保真仿真  
SysID+DR组合

### Real2Sim2Real

真实数据重建  
数字孪生训练  
迁移到真实

### 教师-学生

仿真教师策略  
真实学生策略  
模仿学习蒸馏

**核心原则：**没有单一完美的Sim2Real方法，通常需要组合多种技术

### 实践建议

- 先用系统辨识建立基础仿真
- 再用域随机化覆盖剩余不确定性
- 最后用少量真实数据微调

## | 世界模型+VLA：融合趋势

### 代表性工作

• UniWorld · VLA-RFT · DreamVLA · World-Env

**LeCun六模块**：感知→世界模型→代价模块→记忆  
→动作→配置器

### 技术愿景

VLA提供语义理解和动作生成

世界模型提供未来预测和规划

两者的融合可能导向真正的"自主机器智能"

当前VLA覆盖感知-动作映射，世界模型填补"内部模拟"和"规划"的空白

# | 人形机器人概览

## 美国阵营

- Tesla (Optimus) · Figure AI (Figure 02)
- Boston Dynamics · Agility Robotics (Digit)

## 中国阵营

- 宇树 (Go2/H1) · 优必选 (Walker)
- 智元 (AimBot) · 智平方 (Alpha Bot)



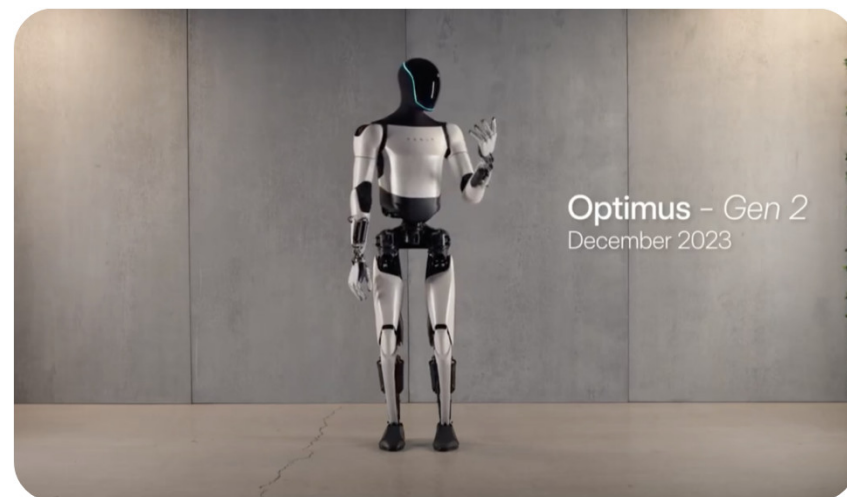
**市场预测：** Goldman Sachs预测2035年达**380亿美元**；IDTechEx估计**300亿美元**；  
McKinsey预测2025年全球部署约4200台，2028年达25000台。

# | Tesla Optimus: 从汽车到机器人

**核心优势:** 大规模制造 · Autopilot AI · Dojo超算 · 垂直整合

**Optimus Gen-2:** 175cm / 63kg / 50+DoF / 20kg负载 / 8h续航

**部署计划:** 2025年工厂5000台→2026年量产数万台



## | Figure AI: 工业落地的先行者

**Figure 02:** BMW工厂 · 精密钣金装配 · 每天10h×5天

**技术特点:** OpenAI合作 · 端到端神经网络 · 力控 $\pm 0.1N$

**融资:** B轮6.75亿美元, 估值26亿美元

**2025年:** Helix VLA系统实现多机器人协作



**2025年:** 发布Helix VLA系统, 实现多机器人协作和任务泛化。当前唯一经过真实工业产线验证的人形机器人。

# | 国产具身智能：快速崛起的生态

**本体厂商：**宇树·优必选·智元·追觅·小鹏

**具身大模型：**智平方·银河通用·星动纪元

**政策驱动：**工信部《人形机器人创新发展指导意见》

**竞争优势：**制造供应链·成本优势·应用场景丰富



UBTECH Walker S1



Unitree H1



AGIBOT Raise A2



Xiaomi CyberOne

# 问题和讨论

